

# Le leggi del disordine

Dino Leporini

Dipartimento di Fisica “Enrico Fermi”, Università di Pisa,  
IPCF-CNR e INFN, Pisa



*Cavolo romano*

PhD/Postdoc  
(in ordine di apparizione):

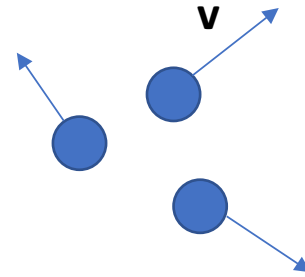
Claudio Donati,  
Cristiano De Michele,  
Andrea Barbieri,  
Vasile Bercu,  
Luca Larini,  
Alistar Ottochian,  
Francesco Puosi,  
Oleksandr Chulkin,  
Sebastiano Bernini,  
Mara Barucco,  
Andrea Giuntoli,  
Antonio Tripodo

# Disordine :

- Disordine nelle velocità
- Disordine nelle posizioni:
  - Liquidi
  - Polimeri
  - Solidi disordinati ( vetri, amorfi)

# Disordine nelle velocità: la distribuzione di Maxwell-Boltzmann

$$f_{MB}(v) = \left( \frac{m}{2\pi kT} \right)^{3/2} \exp \left[ -\frac{mv^2}{2kT} \right]$$

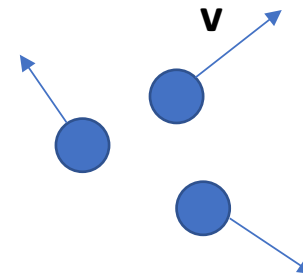


Per una storia dei contrari (Kelvin..),  
dei cauti (Maxwell...) e degli entusiasti  
(Clausius...) vedi:  
Rowlinson, Mol. Phys. 2005

**NB:**  
Le leggi dei  
sistemi  
disordinati  
sono  
di natura  
statistica

# Disordine nelle velocità: la distribuzione di Maxwell-Boltzmann

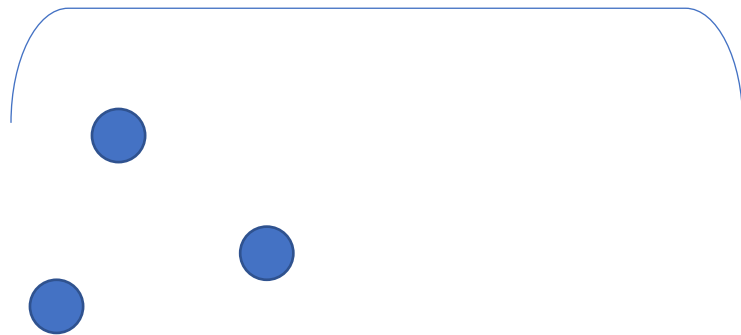
$$f_{MB}(v) = \left( \frac{m}{2\pi kT} \right)^{3/2} \exp \left[ -\frac{mv^2}{2kT} \right]$$



Per una storia dei contrari (Kelvin..), dei cauti (Maxwell...) e degli entusiasti (Clausius...) vedi:  
Rowlinson, Mol. Phys. 2005

$f_{MB}$  predetta in sistemi in equilibrio classico, potenziali dipendenti dalla sola posizione e velocità non relativistiche. Confermata in:

**Fluidi** (alta mobilità)

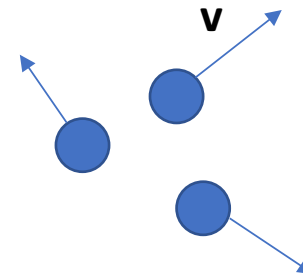


Gas ideali

**NB:**  
Le leggi dei sistemi disordinati sono di natura statistica

# Disordine nelle velocità: la distribuzione di Maxwell-Boltzmann

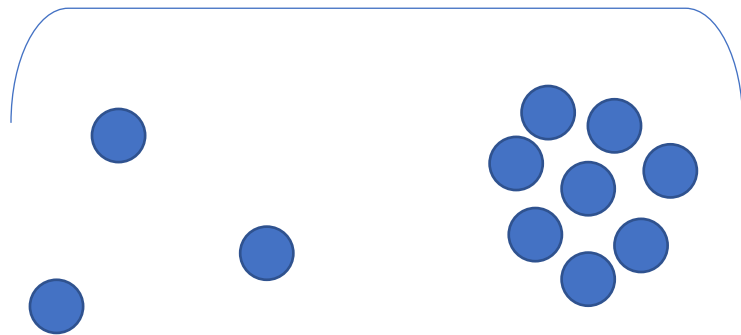
$$f_{MB}(v) = \left( \frac{m}{2\pi kT} \right)^{3/2} \exp \left[ -\frac{mv^2}{2kT} \right]$$



Per una storia dei contrari (Kelvin..), dei cauti (Maxwell...) e degli entusiasti (Clausius...) vedi:  
Rowlinson, Mol. Phys. 2005

$f_{MB}$  predetta in sistemi in equilibrio classico, potenziali dipendenti dalla sola posizione e velocità non relativistiche. Confermata in:

**Fluidi** (alta mobilità)



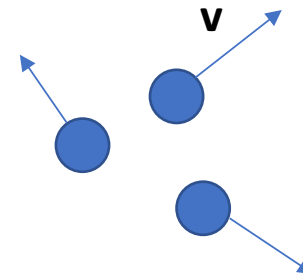
Gas ideali

Liquidi

**NB:**  
Le leggi dei sistemi disordinati sono di natura statistica

# Disordine nelle velocità: la distribuzione di Maxwell-Boltzmann

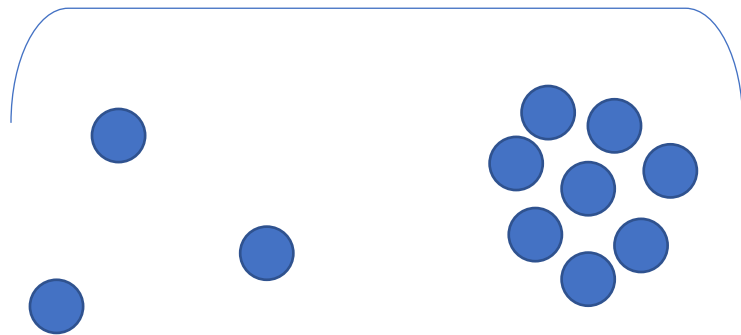
$$f_{MB}(v) = \left(\frac{m}{2\pi kT}\right)^{3/2} \exp\left[-\frac{mv^2}{2kT}\right]$$



Per una storia dei contrari (Kelvin..), dei cauti (Maxwell...) e degli entusiasti (Clausius...) vedi:  
Rowlinson, Mol. Phys. 2005

$f_{MB}$  predetta in sistemi in equilibrio classico, potenziali dipendenti dalla sola posizione e velocità non relativistiche. Confermata in:

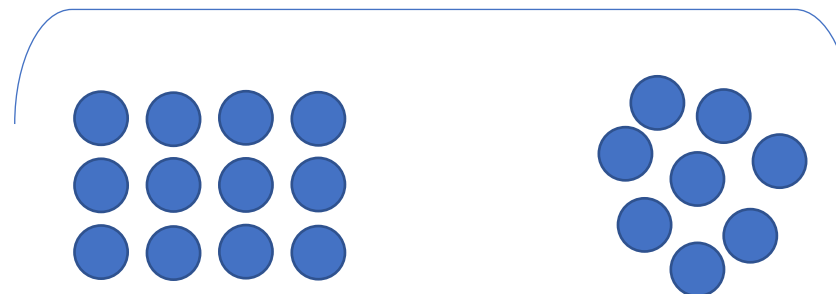
**Fluidi** (alta mobilità)



Gas ideali

Liquidi

**Solidi** (mobilità trascurabile)

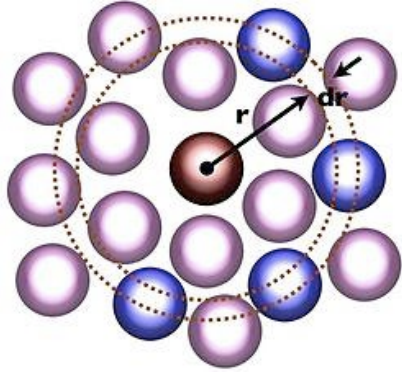


Cristalli

Vetri

**NB:**  
Le leggi dei sistemi disordinati sono di natura statistica

# Disordine nelle posizioni in liquidi e solidi: assenza di ordine a lungo raggio



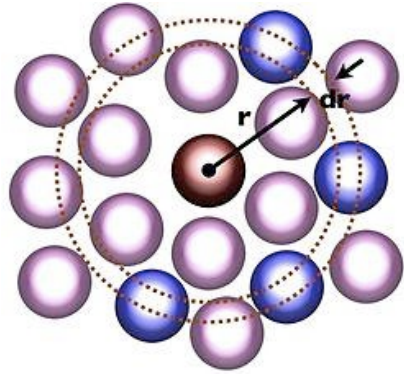
$$dN(r) = 4 \pi \rho r^2 \mathbf{g}(r) dr$$

radial distribution function

$$\lim_{r \rightarrow \infty} \mathbf{g}(r) = 1 ;$$

homogeneity

# Disordine nelle posizioni in liquidi e solidi: assenza di ordine a lungo raggio



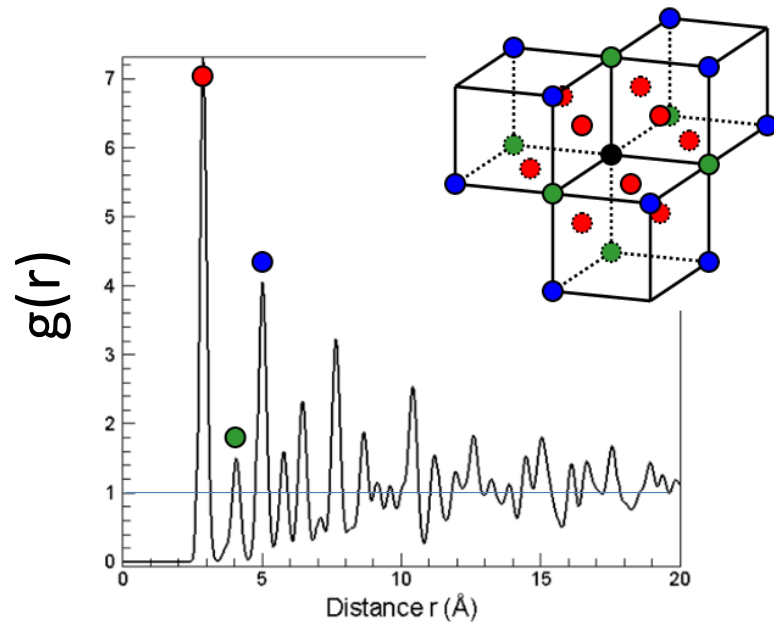
$$dN(r) = 4 \pi \rho r^2 \mathbf{g}(r) dr$$

radial distribution function

$$\lim_{r \rightarrow \infty} \mathbf{g}(r) = 1 ;$$

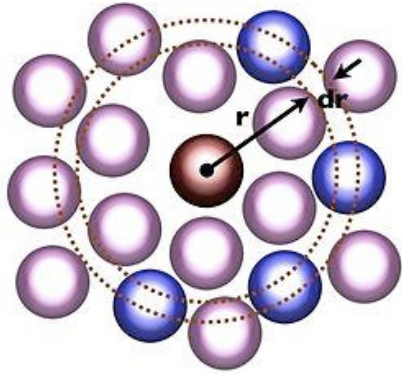
homogeneity

Crystalline fcc Au





# Disordine nelle posizioni in liquidi e solidi: assenza di ordine a lungo raggio



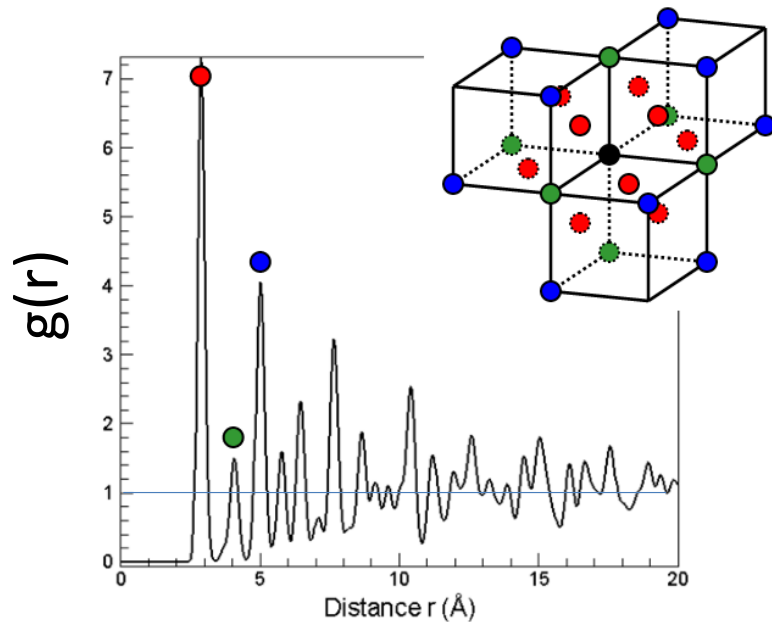
$$dN(r) = 4 \pi \rho r^2 \mathbf{g}(r) dr$$

radial distribution function

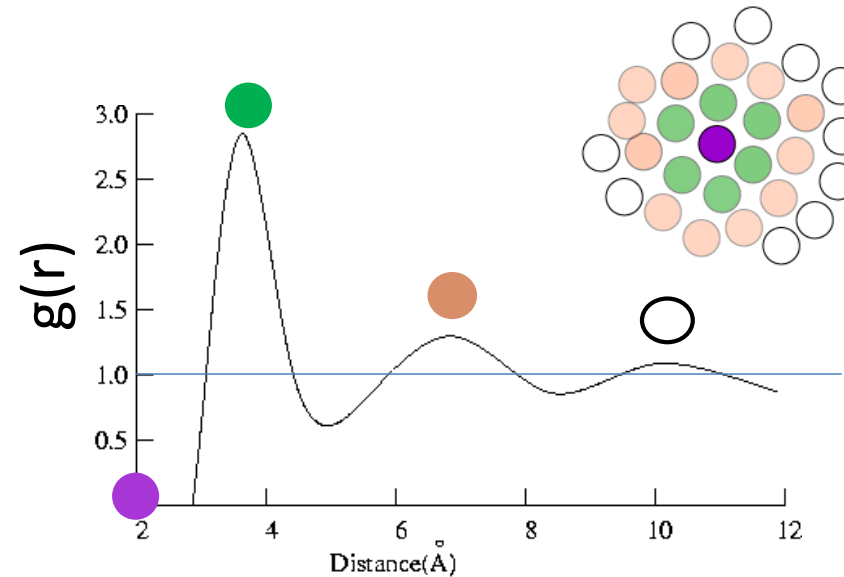
$$\lim_{r \rightarrow \infty} \mathbf{g}(r) = 1 ;$$

homogeneity

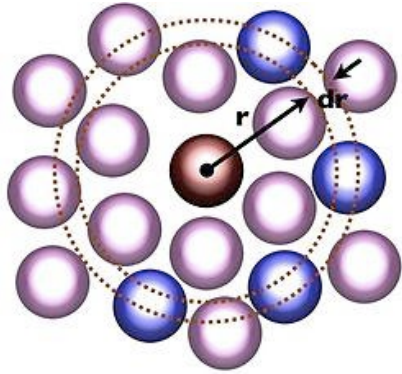
Crystalline fcc Au



Ar (liquido) , Ar (vetro)



# Disordine nelle posizioni in liquidi e solidi: assenza di ordine a lungo raggio



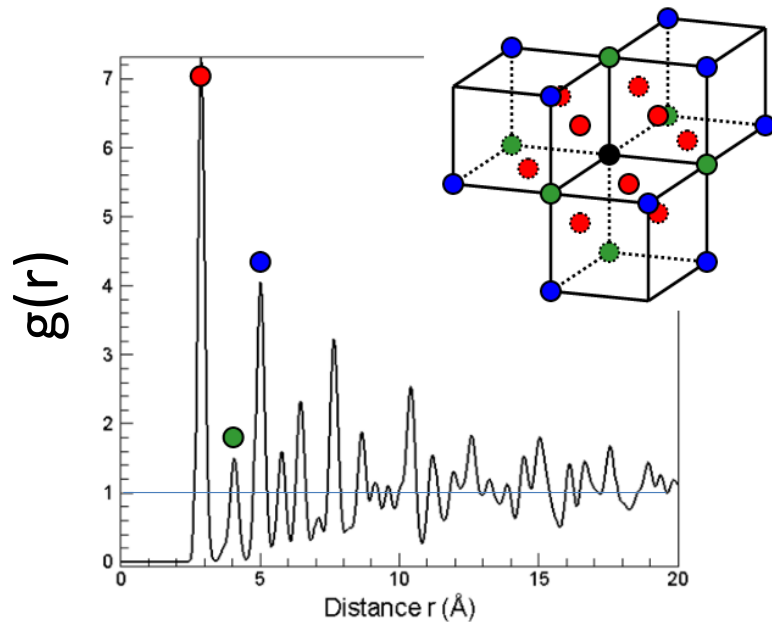
$$dN(r) = 4 \pi \rho r^2 g(r) dr$$

radial distribution function

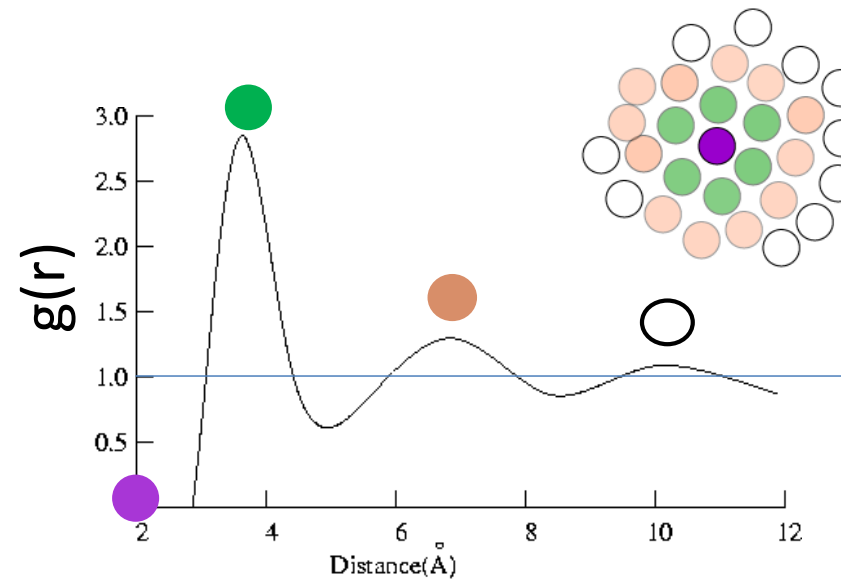
$$\lim_{r \rightarrow \infty} g(r) = 1 ;$$

homogeneity

Crystalline fcc Au

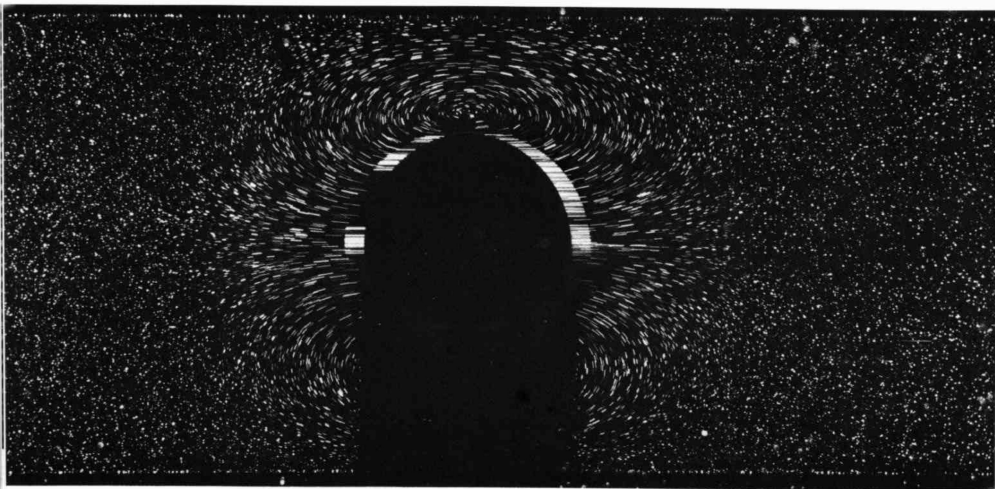


Ar (liquido) , Ar (vetro)



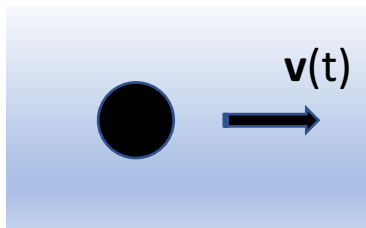
**NB:**  
 Sistemi spazialmente disordinati, anche con strutture molto simili possono avere mobilità molto diverse

# Liquidi: autosimilarita' nel tempo e nello spazio (backflow)



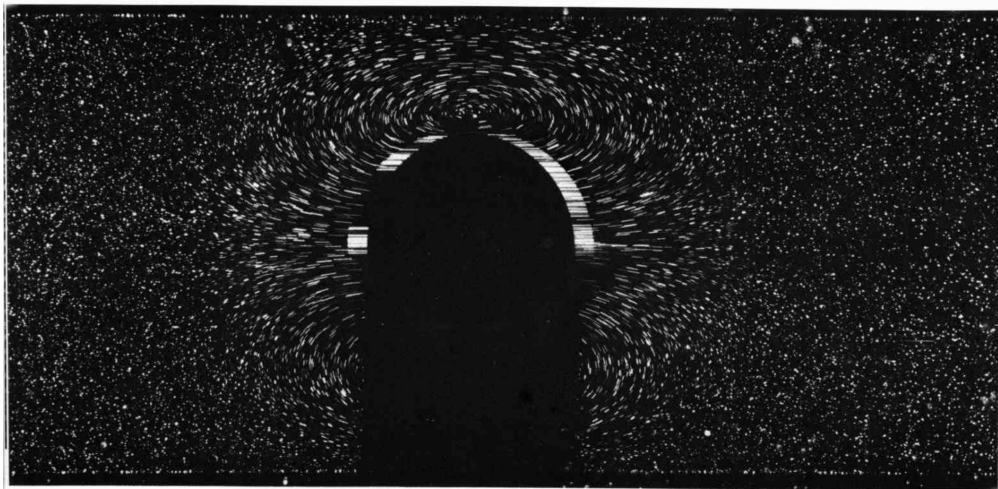
9. Sphere moving through a tube at  $R=0.10$ , absolute motion. In contrast to the photograph above, here the camera remains fixed with respect to the distant fluid. During the exposure the sphere has moved from left to right

less than a tenth of a diameter, to show the absolute motion of the fluid. At this small Reynolds number the flow pattern, shown by magnesium cuttings in oil, looks completely symmetric fore-and-aft. *Coutanceau 1968*



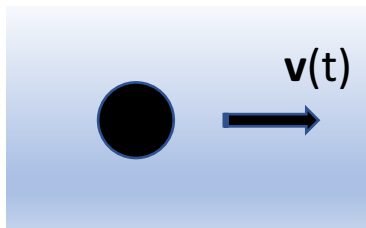
Sfera macroscopica in liquido

# Liquidi: autosimilarita' nel tempo e nello spazio (backflow)



9. Sphere moving through a tube at  $R=0.10$ , absolute motion. In contrast to the photograph above, here the camera remains fixed with respect to the distant fluid. During the exposure the sphere has moved from left to right

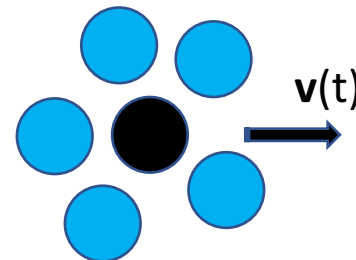
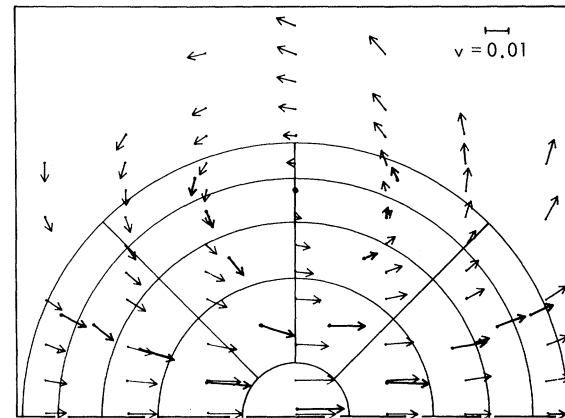
less than a tenth of a diameter, to show the absolute motion of the fluid. At this small Reynolds number the flow pattern, shown by magnesium cuttings in oil, looks completely symmetric fore-and-aft. *Coutanceau 1968*



Sfera macroscopica in liquido

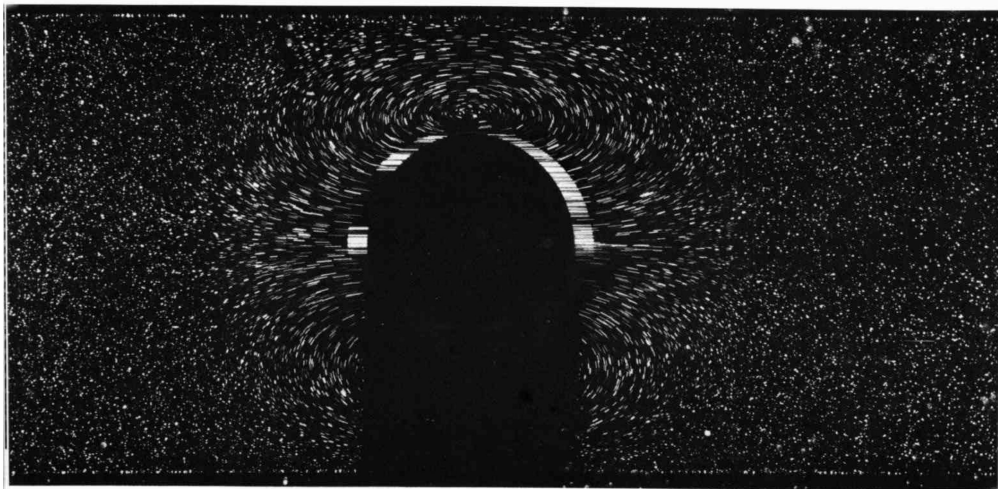
## Decay of the Velocity Autocorrelation Function\*

B. J. Alder and T. E. Wainwright  
*Lawrence Radiation Laboratory, University of California, Livermore, California 94550*  
(Received 10 July 1969)



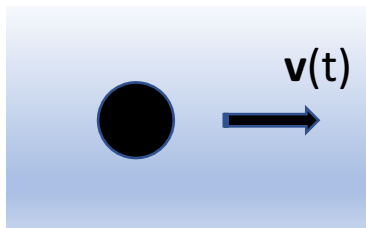
Atomo in liquido atomico

# Liquidi: autosimilarita' nel tempo e nello spazio (backflow)



9. Sphere moving through a tube at  $R=0.10$ , absolute motion. In contrast to the photograph above, here the camera remains fixed with respect to the distant fluid. During the exposure the sphere has moved from left to right

less than a tenth of a diameter, to show the absolute motion of the fluid. At this small Reynolds number the flow pattern, shown by magnesium cuttings in oil, looks completely symmetric fore-and-aft. *Coutanceau 1968*



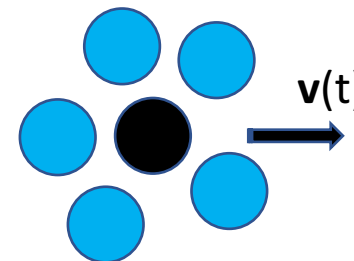
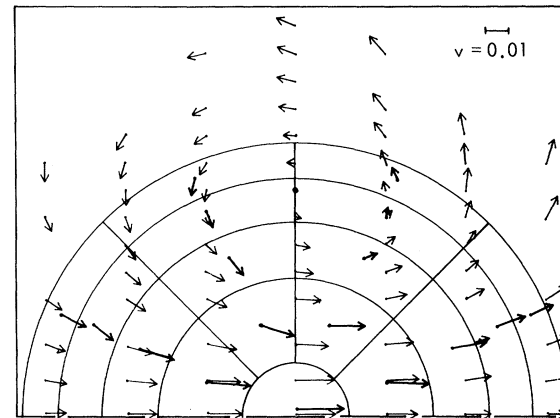
Sfera macroscopica in liquido

## Decay of the Velocity Autocorrelation Function\*

B. J. Alder and T. E. Wainwright

Lawrence Radiation Laboratory, University of California, Livermore, California 94550

(Received 10 July 1969)



Atomo in liquido atomico

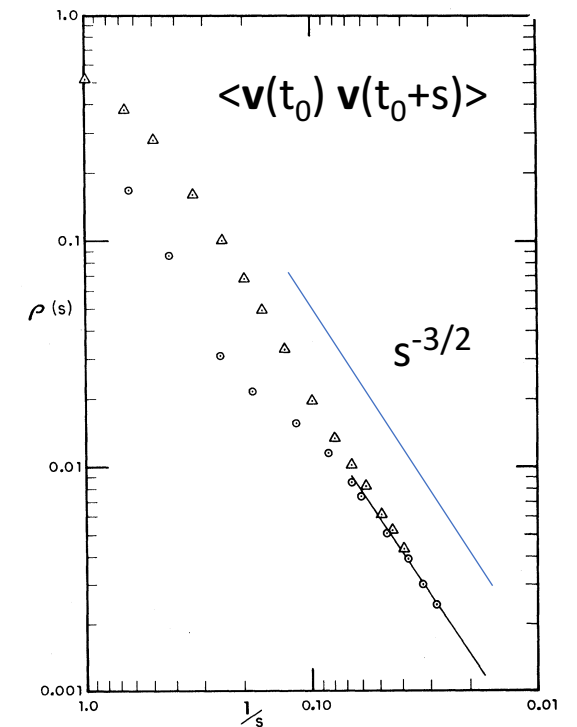
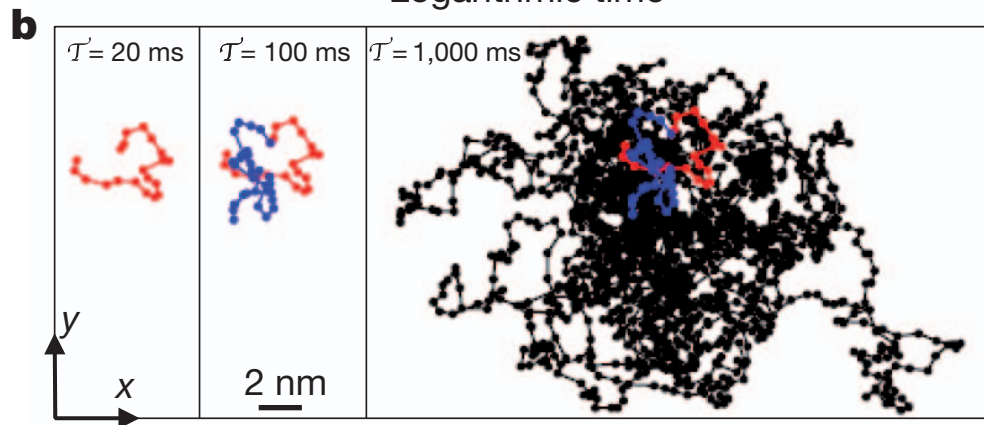
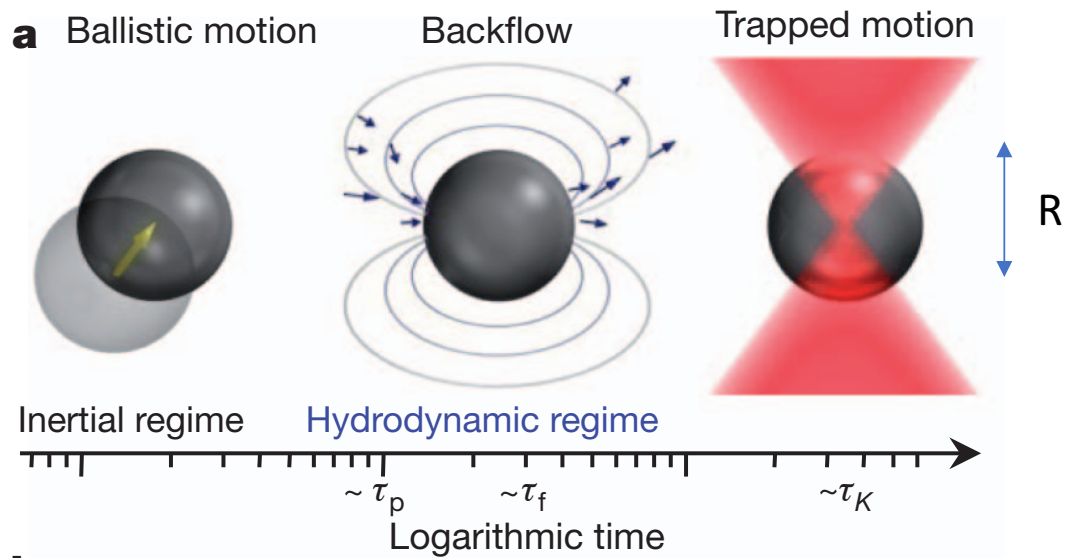


FIG. 2. Comparison of the velocity autocorrelation function  $\rho(s)$  as a function of time (in terms of mean collision times  $s$ ) between the hydrodynamic model (triangles) and a 500-hard-sphere molecular-dynamics calculation (circles) at a volume relative to close packing of 0.6 on a log-log plot. The straight line is drawn with a slope corresponding to  $s^{-3/2}$ . To the molecular dynamics  $\rho(s)$

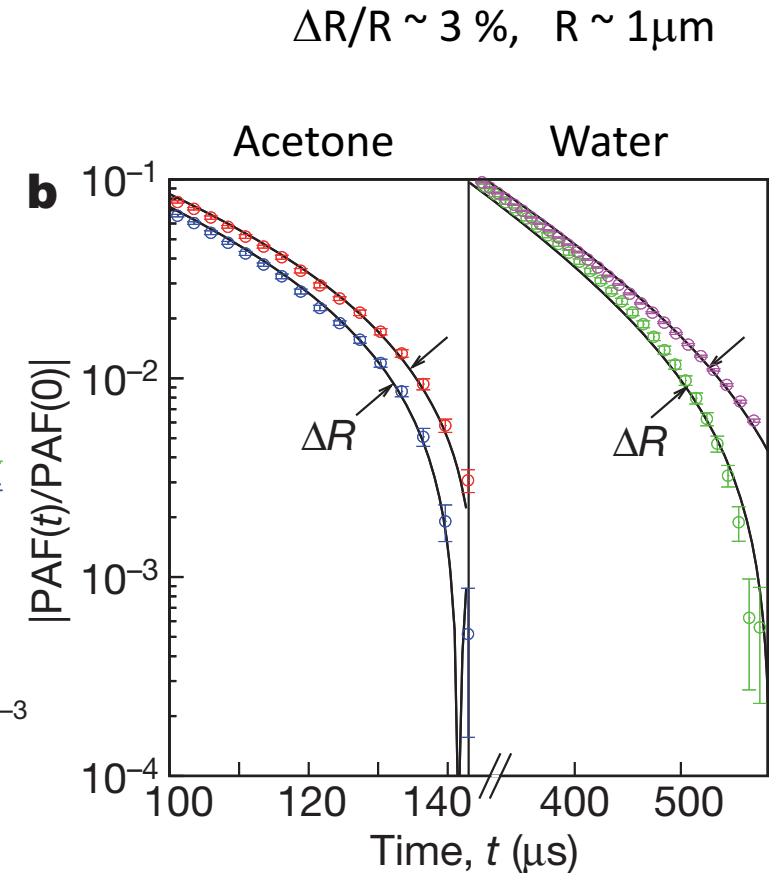
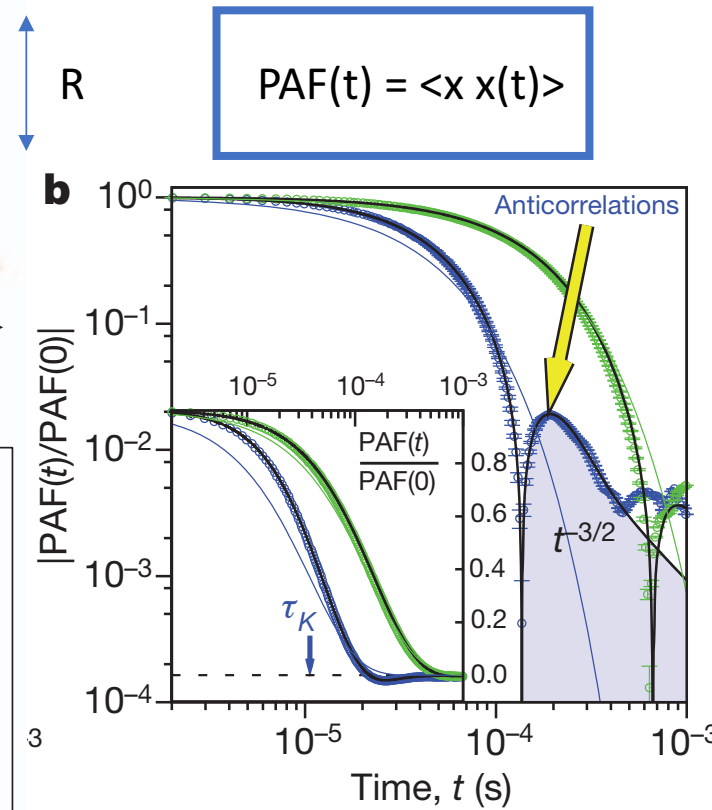
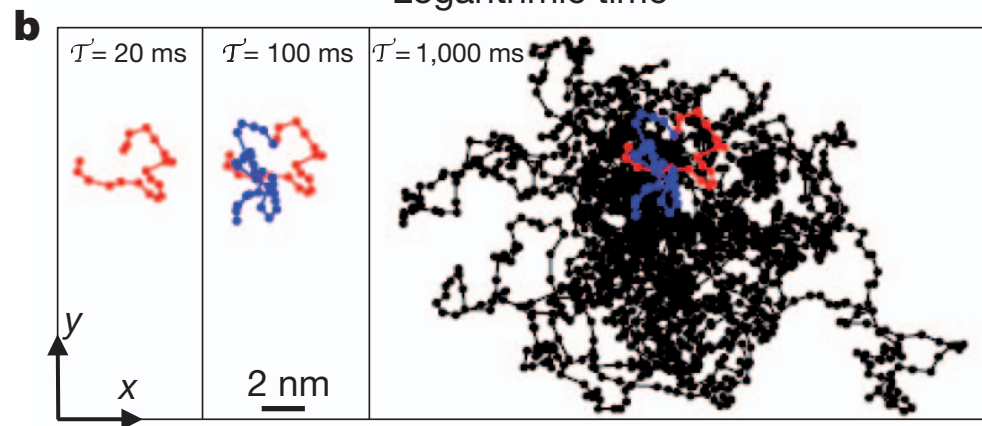
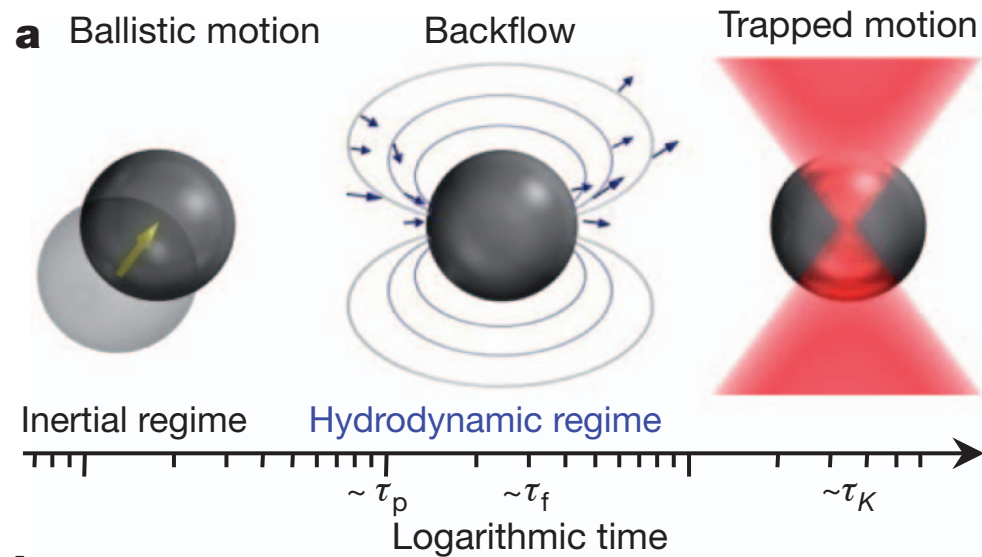
# Enhanced hydrodynamic anticorrelations driven by Backflow: lab-on-a-chip application

Franosch et al, Nature 2011

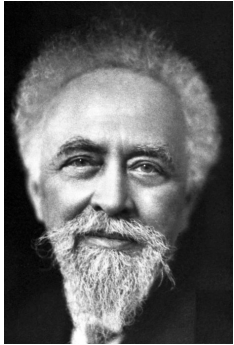


# Enhanced hydrodynamic anticorrelations driven by Backflow: lab-on-a-chip application

Fransosch et al, Nature 2011



# Liquidi: il moto browniano e l'esistenza degli atomi



J. Perrin

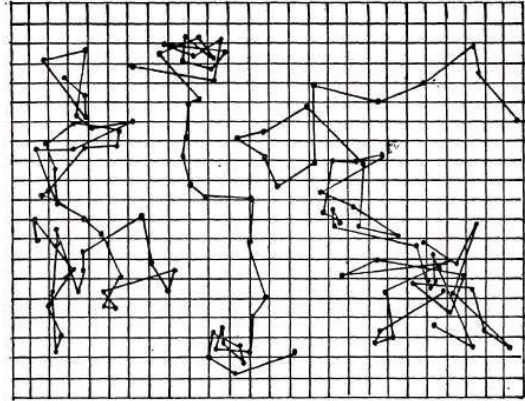
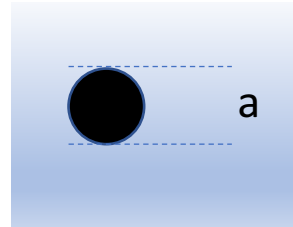
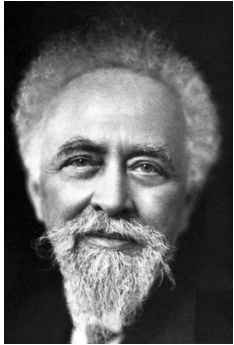


Fig. 7.





# Liquidi: il moto browniano e l'esistenza degli atomi



J. Perrin

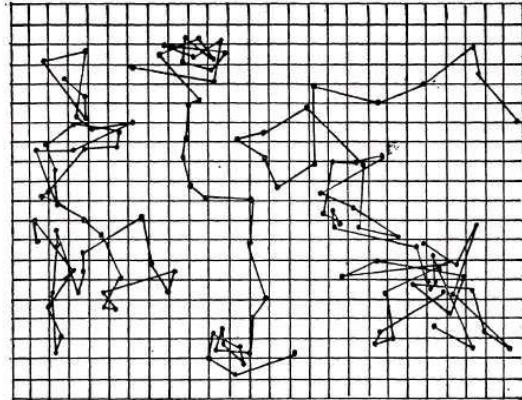
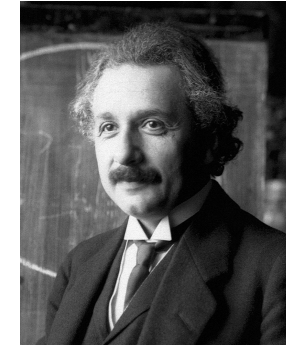
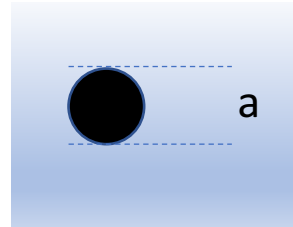


Fig. 7.

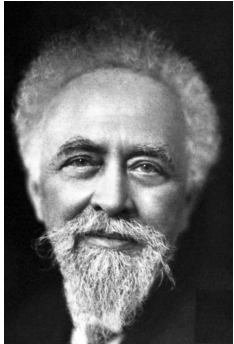


A. Einstein

Articoli 1905 (Annus Mirabilis), in ordine di invio:

- Effetto fotoelettrico (Nobel 1921)
- **Moto Browniano**
- Relativita' speciale
- $E=mc^2$

# Liquidi: il moto browniano e l'esistenza degli atomi



J. Perrin

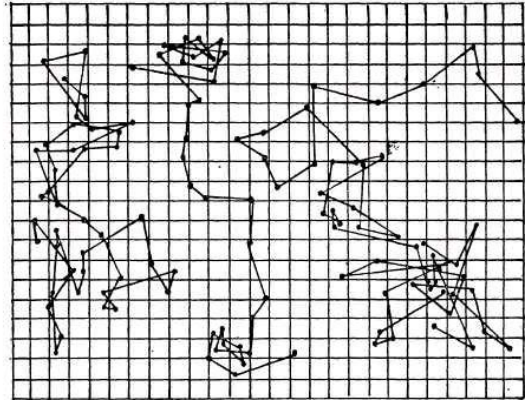
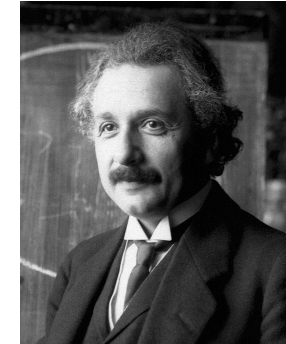
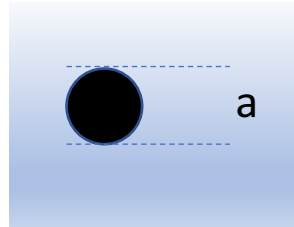


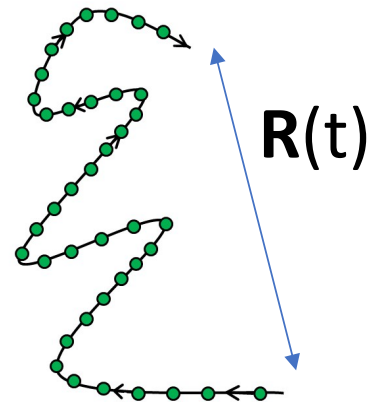
Fig. 7.



A. Einstein

Articoli 1905 (Annus Mirabilis), in ordine di invio:

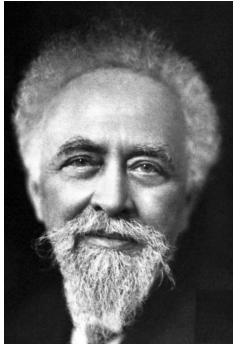
- Effetto fotoelettrico (Nobel 1921)
- **Moto Browniano**
- Relativita' speciale
- $E=mc^2$



$$\langle \mathbf{R}^2(t) \rangle = 6 D t$$

D: coefficiente di diffusione  
 $\eta$  : viscosita'

# Liquidi: il moto browniano e l'esistenza degli atomi



J. Perrin

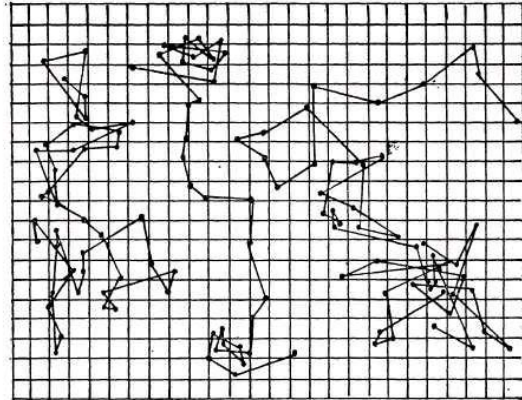
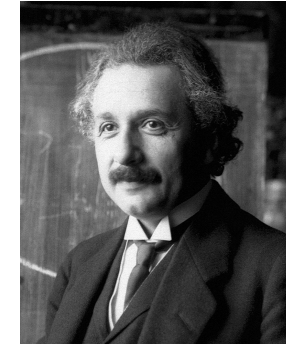
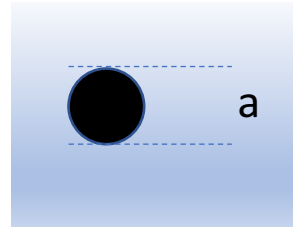


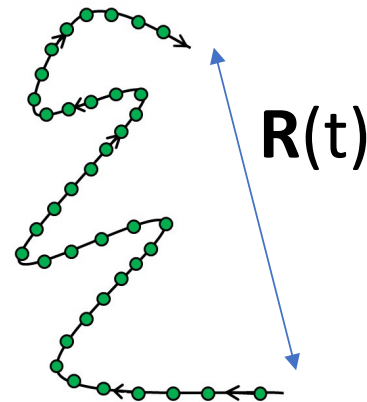
Fig. 7.



A. Einstein

Articoli 1905 (Annus Mirabilis), in ordine di invio:

- Effetto fotoelettrico (Nobel 1921)
- **Moto Browniano**
- Relativita' speciale
- $E=mc^2$



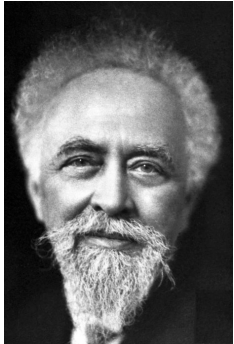
$$\langle \mathbf{R}^2(t) \rangle = 6 D t$$

$$k_B = 6\pi a \frac{D \eta}{T}$$

D: coefficiente di diffusione  
 $\eta$  : viscosita'

Legge di Stokes-Einstein

# Liquidi: il moto browniano e l'esistenza degli atomi



J. Perrin

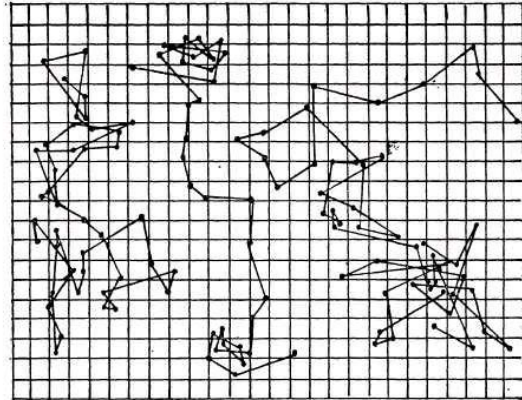
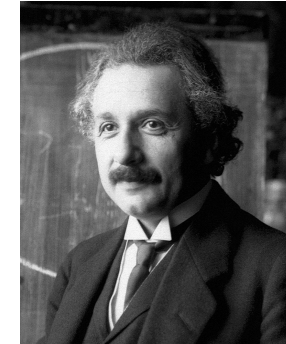
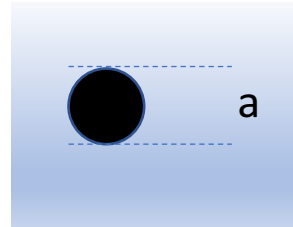


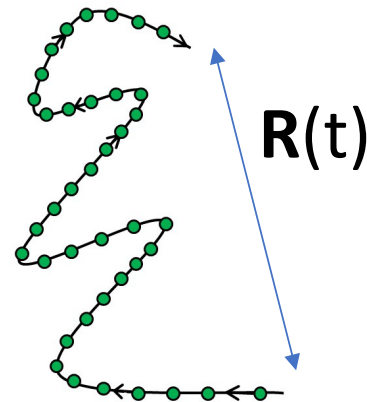
Fig. 7.



A. Einstein

Articoli 1905 (Annus Mirabilis), in ordine di invio:

- Effetto fotoelettrico (Nobel 1921)
- **Moto Browniano**
- Relativita' speciale
- $E=mc^2$



$$\langle \mathbf{R}^2(t) \rangle = 6 D t$$

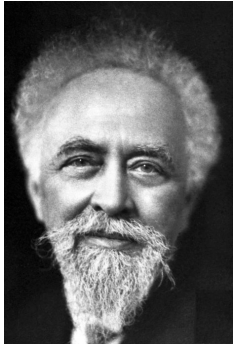
Costante di Boltzmann

$$k_B = 6\pi a \frac{D \eta}{T}$$

D: coefficiente di diffusione  
 $\eta$  : viscosita'

Legge di Stokes-Einstein

# Liquidi: il moto browniano e l'esistenza degli atomi



J. Perrin

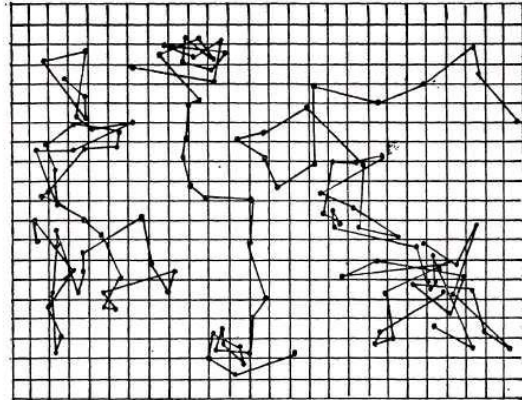
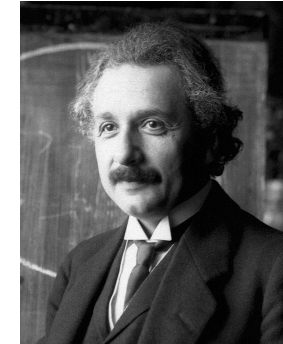
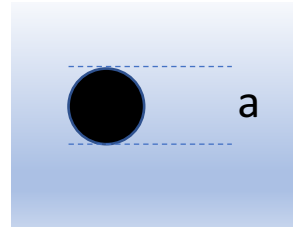


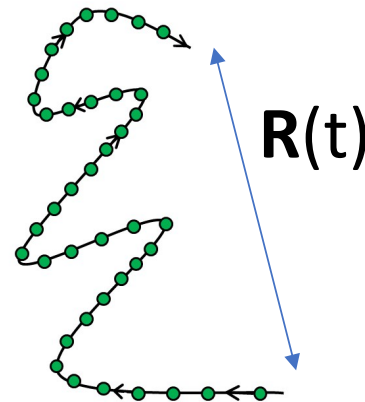
Fig. 7.



A. Einstein

Jean Baptiste Perrin, The Nobel Prize in Physics 1926  
 "for his work on the discontinuous structure of matter..."

During the 1880s atoms and molecules became important scientific concepts, but whether or not they actually had a physical existence was still a matter of dispute. Jean Perrin maintained that if molecules were real, particles blended into a liquid should not all sink to the bottom but should distribute themselves throughout the liquid. In **1908** he could substantiate this through experimentation. He also substantiated Albert Einstein's theory that Brownian motion - the random movement of small particles in a liquid - was due to collisions between the particles and molecules in the liquid. ( Source: <https://www.nobelprize.org/prizes/physics/1926/summary/> )



Articoli 1905 (Annus Mirabilis), in ordine di invio:

- Effetto fotoelettrico (Nobel 1921)
- **Moto Browniano**
- Relativita' speciale
- $E=mc^2$

$$\langle \mathbf{R}^2(t) \rangle = 6 D t$$

D: coefficiente di diffusione  
 $\eta$  : viscosita'

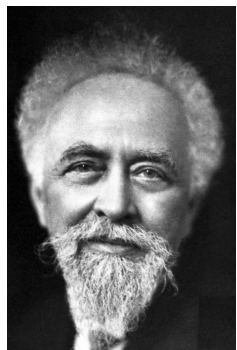
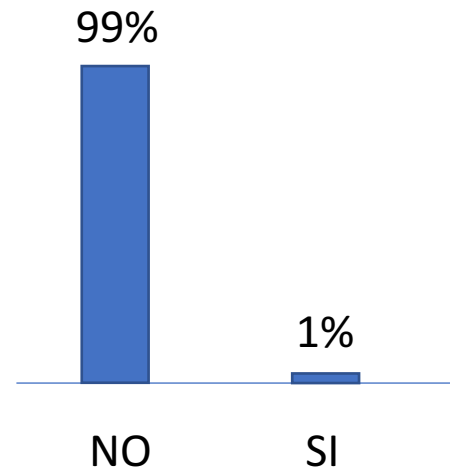
Costante di Boltzmann

$$k_B = 6\pi a \frac{D \eta}{T}$$

Legge di Stokes-Einstein

# Sondaggi (ventennali)....

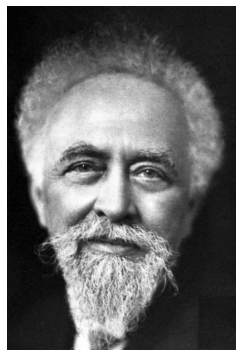
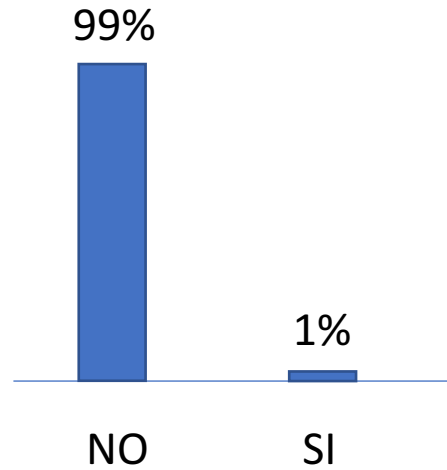
**Domanda:** conosci Perrin ?



J. Perrin

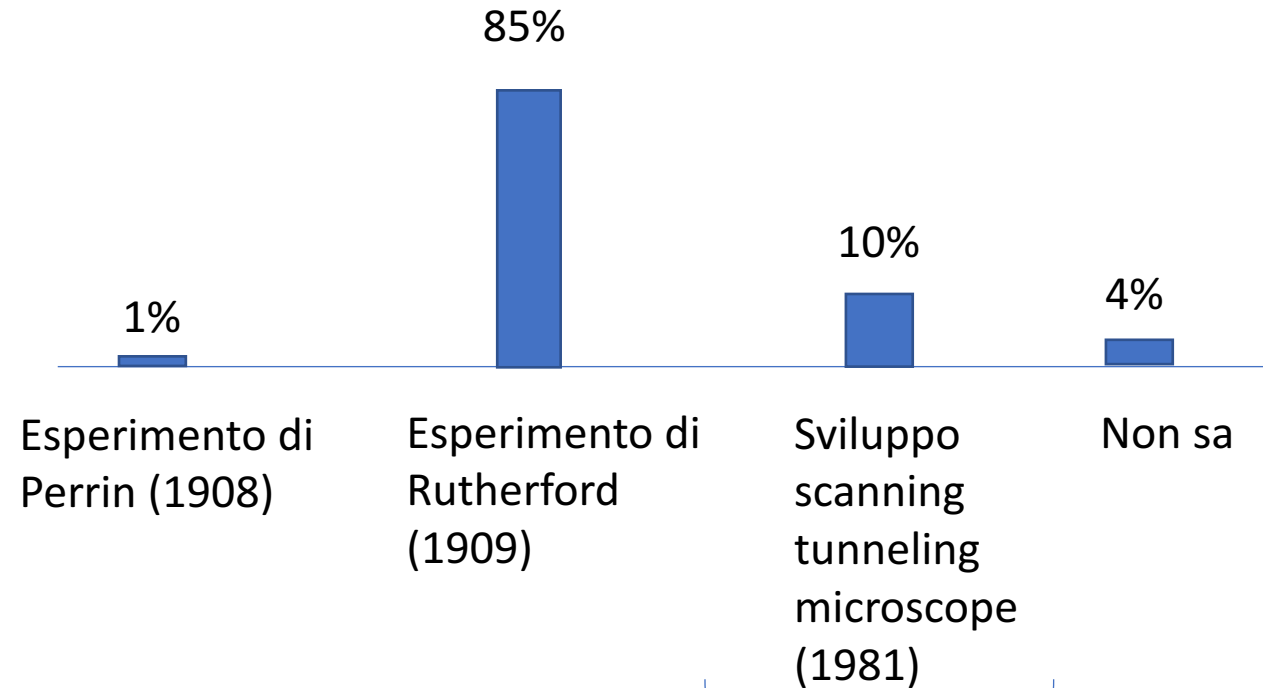
# Sondaggi (ventennali)....

**Domanda:** conosci Perrin ?



J. Perrin

**Domanda:** sai come/quando e' stata provata l'esistenza degli atomi ?



“Se non vedo, non credo”

# Polimeri: analogia con il moto browniano

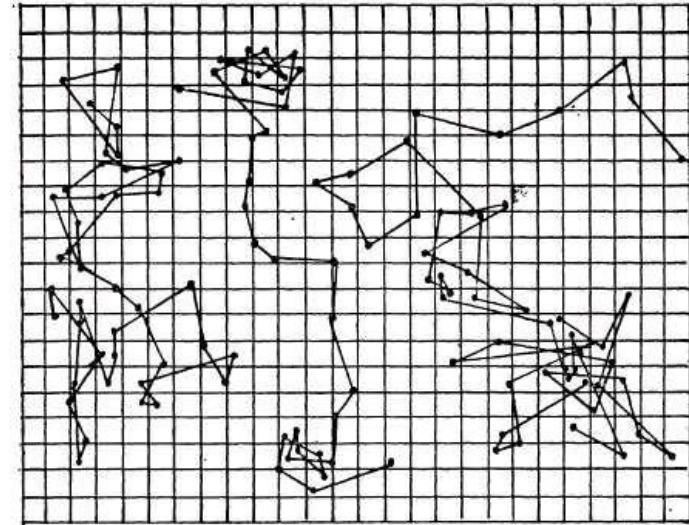
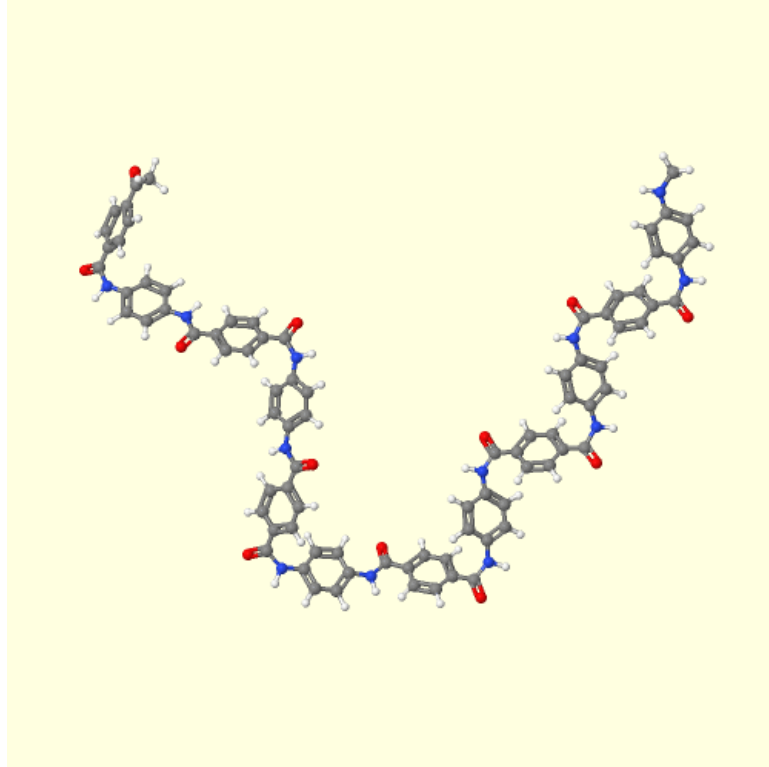


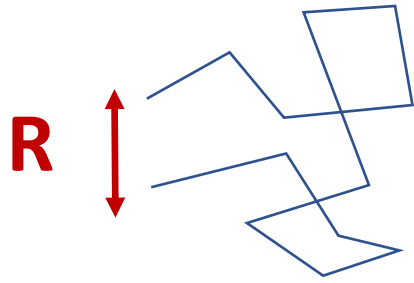
Fig. 7.

Kevlar:  
Polimero poliaramide  
“bio-inspired” dalla tela dei ragni



# Analogia tra moto browniano e polimeri lineari: quale moto browniano ?

RW



$$\langle R^2 \rangle \propto N$$

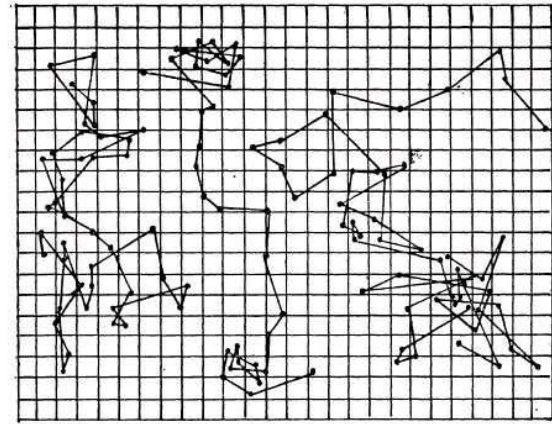
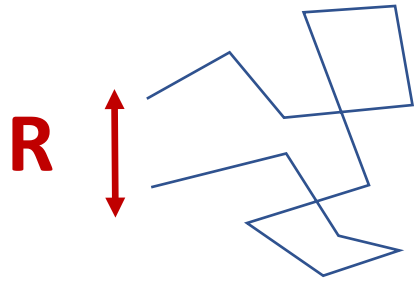


Fig. 7.

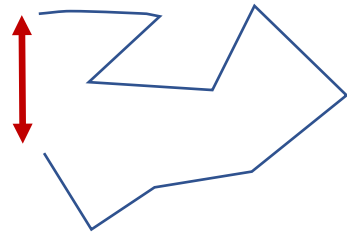
# Analogia tra moto browniano e polimeri lineari: quale moto browniano ?

RW



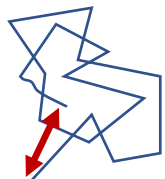
$$\langle R^2 \rangle \propto N$$

RW  
autoevitante



$$\langle R^2 \rangle \propto N^{6/5}$$

Globulo



$$\langle R^2 \rangle \propto N^{2/3}$$

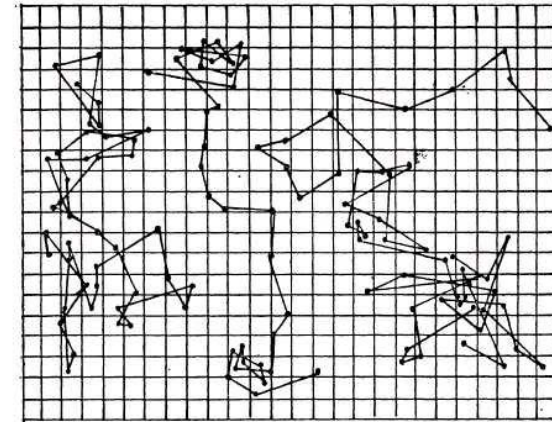
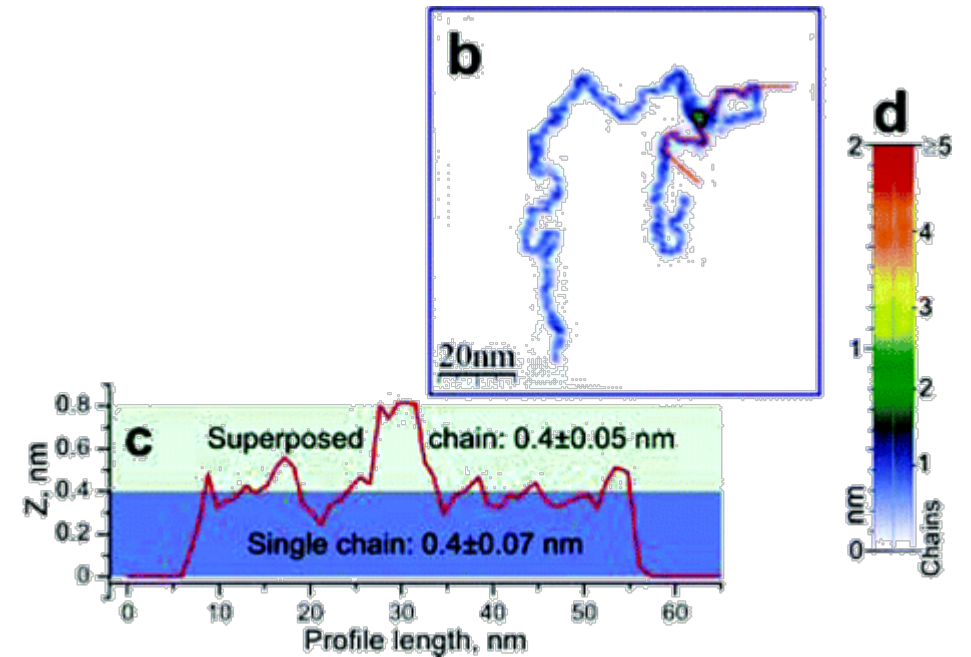
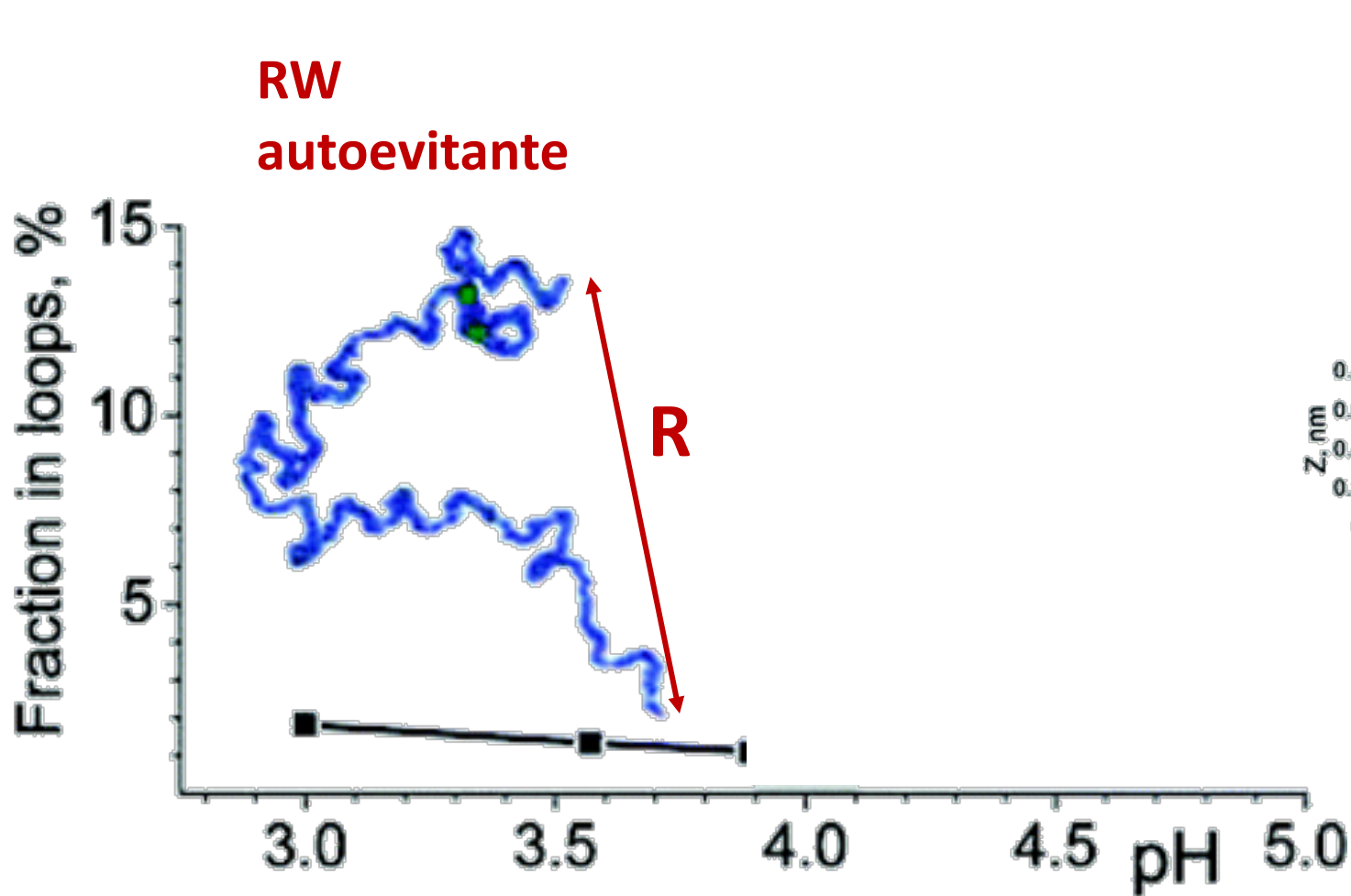


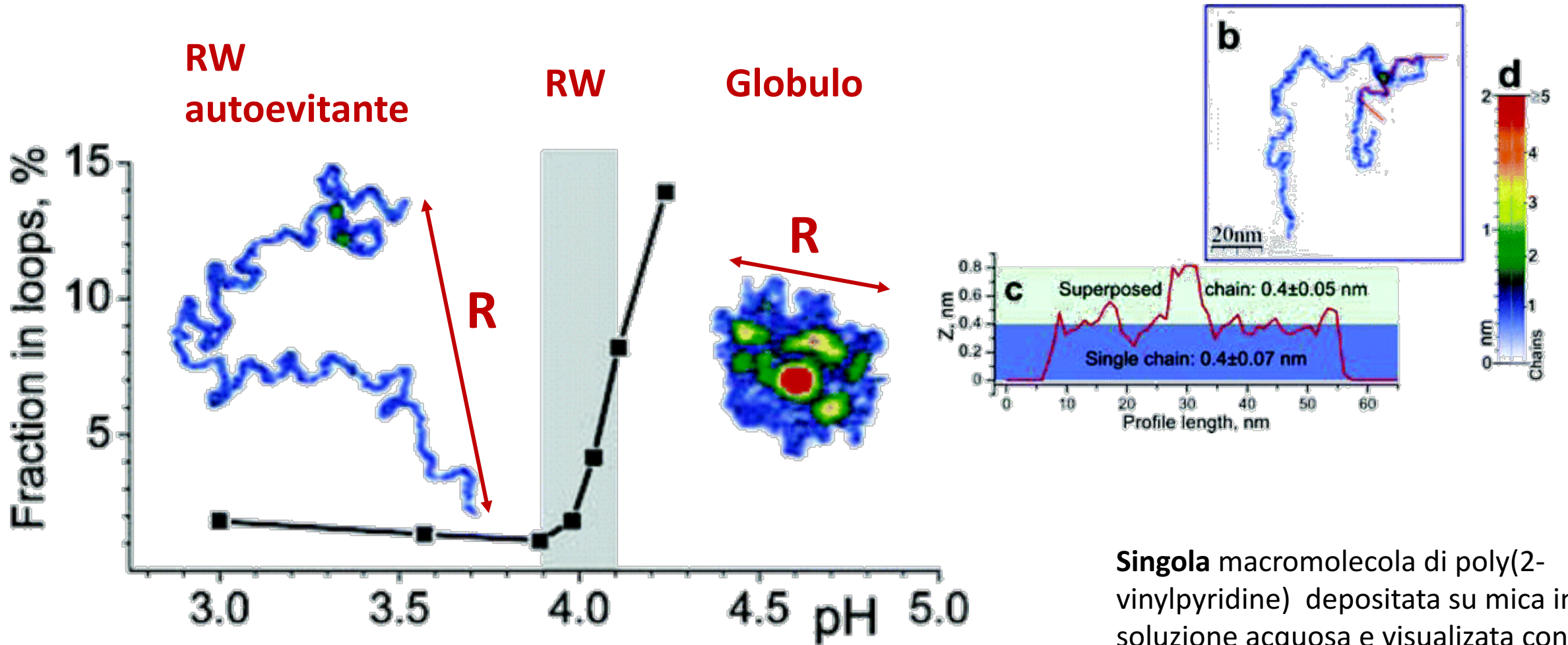
Fig. 7.

Transizione “coil-globule” di singola catena: un esempio di transizione disordine-disordine



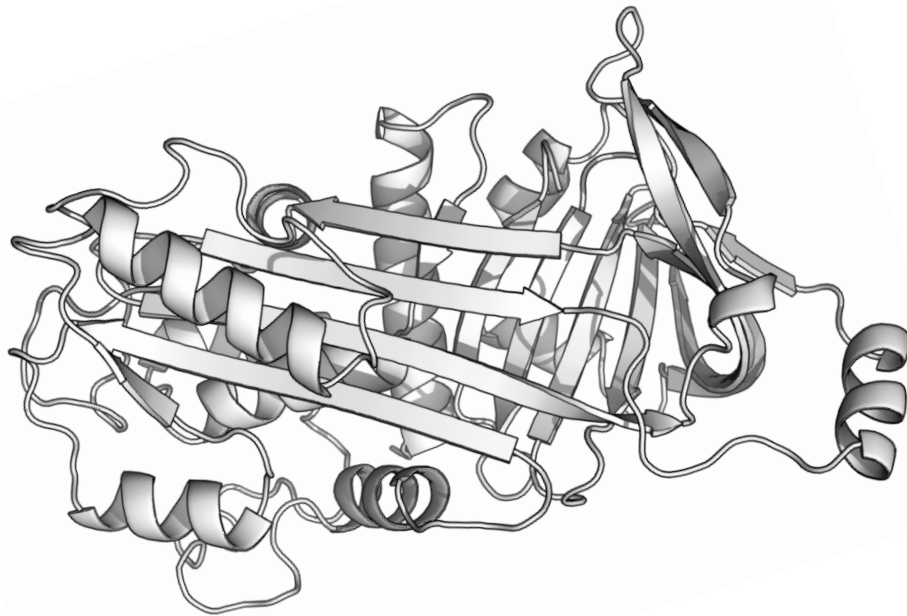
**Singola** macromolecola di poly(2-vinylpyridine) depositata su mica in soluzione acquosa e visualizzata con AFM (Roiter and Minko, JACS 2005)

# Transizione “coil-globule” di singola catena: un esempio di transizione disordine-disordine



**Singola** macromolecola di poly(2-vinylpyridine) depositata su mica in soluzione acquosa e visualizzata con AFM (Roiter and Minko, JACS 2005)

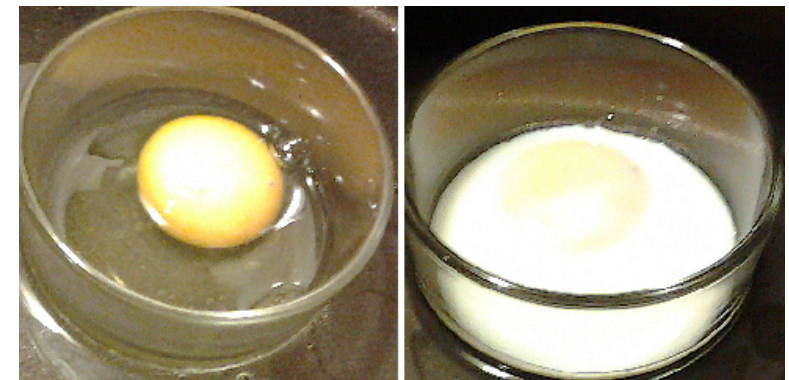
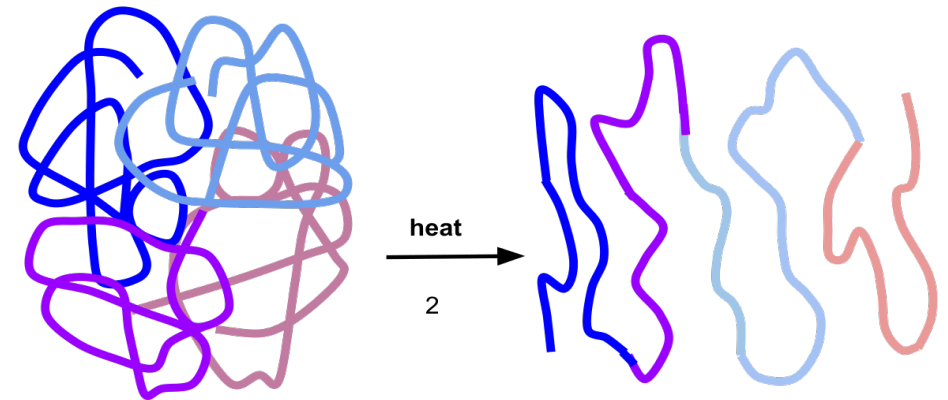
# Transizione "coil-globule" di singola catena : analogia con la denaturazione delle proteine



**Ovalbumina**  
Notare forma globulare

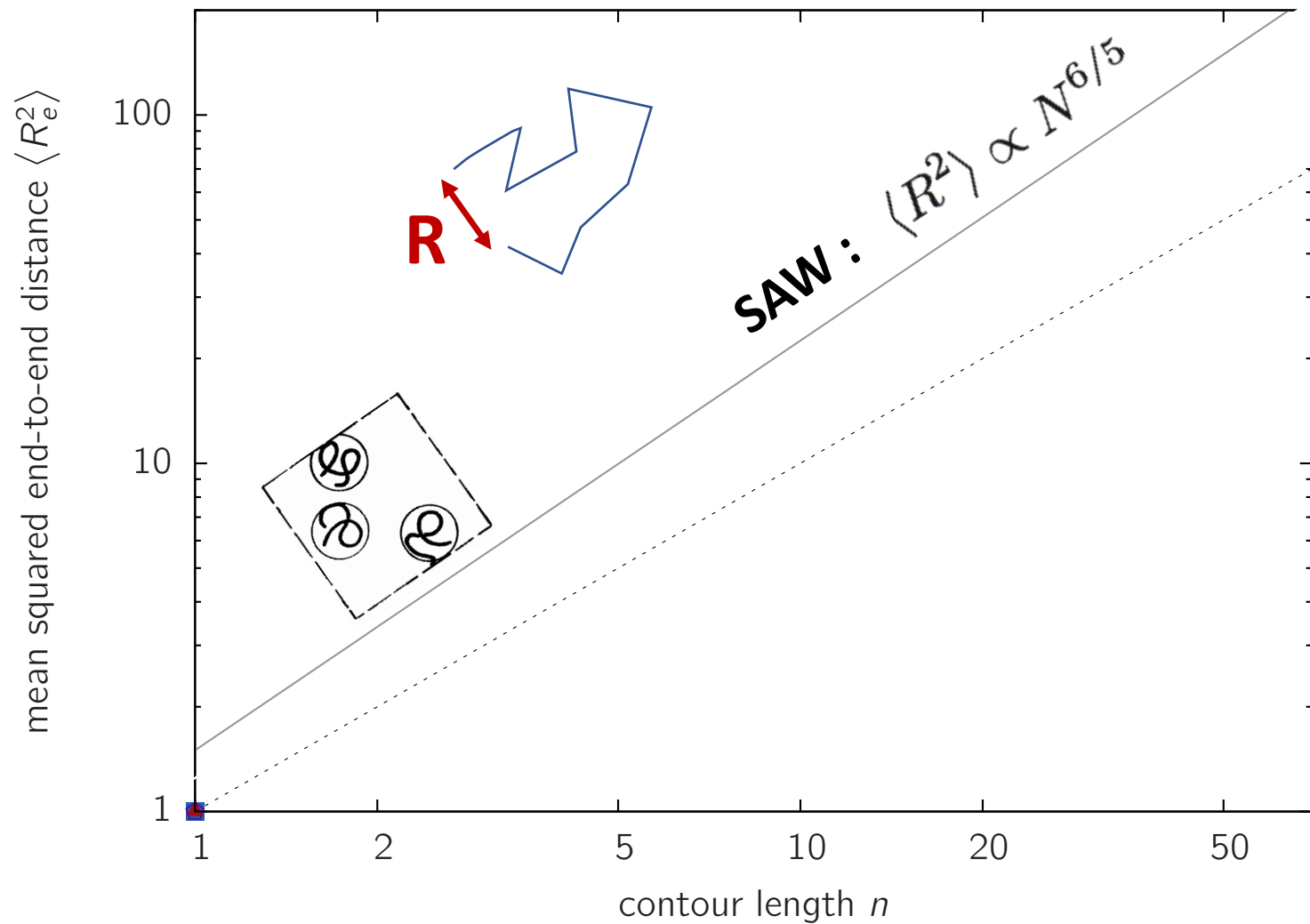
**Proteina Folded  
(globulare):  
funziona**

**Proteina Unfolded:  
non funziona**

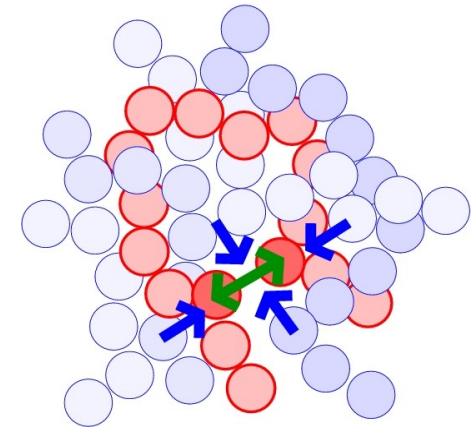
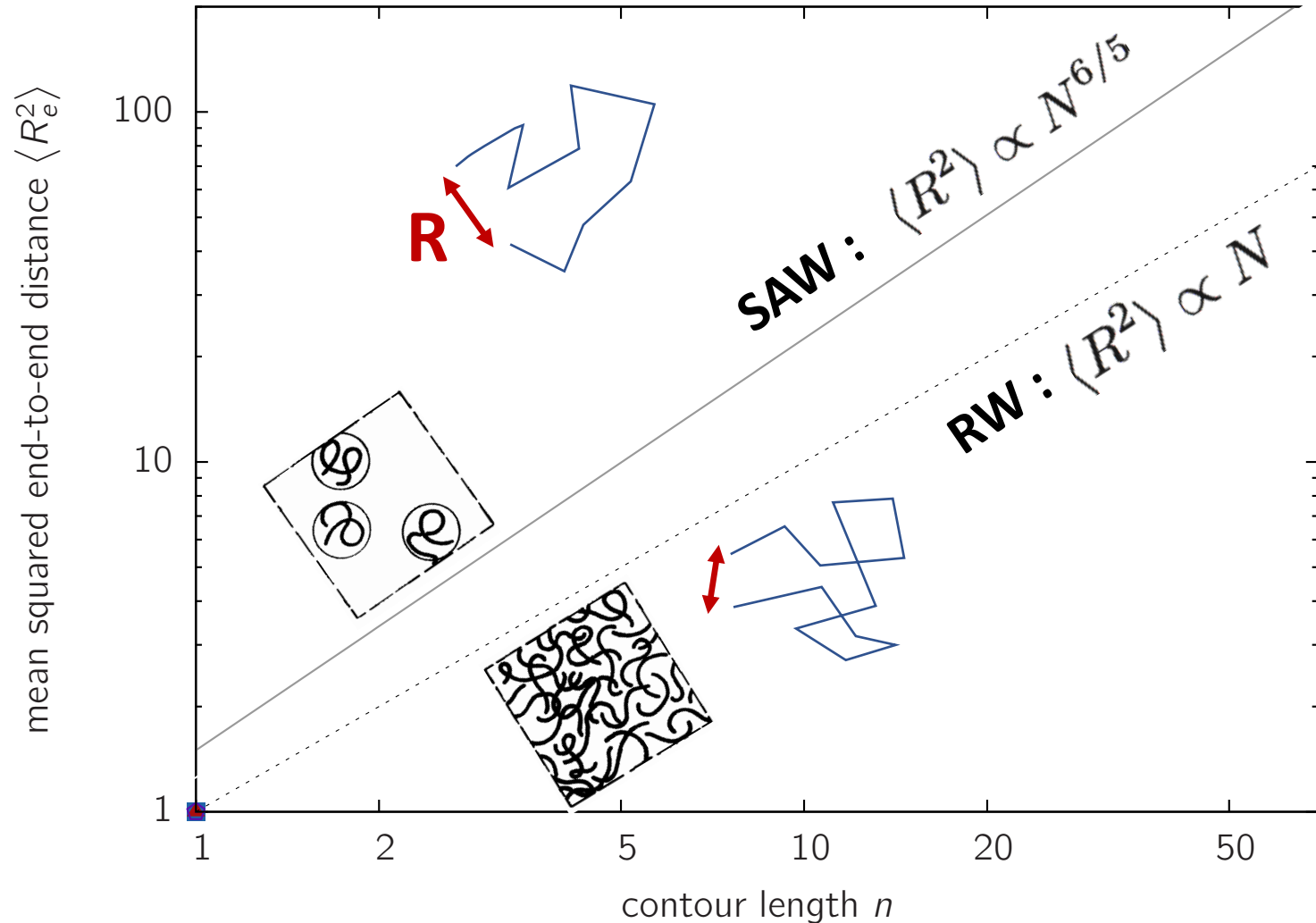


L' ovalbumina, se riscaldata, diventa insolubile

Il disordine semplifica la vita: polimeri come RW se ad alta concentrazione in buon solvente



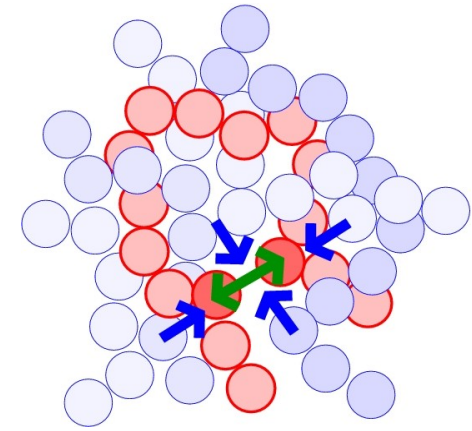
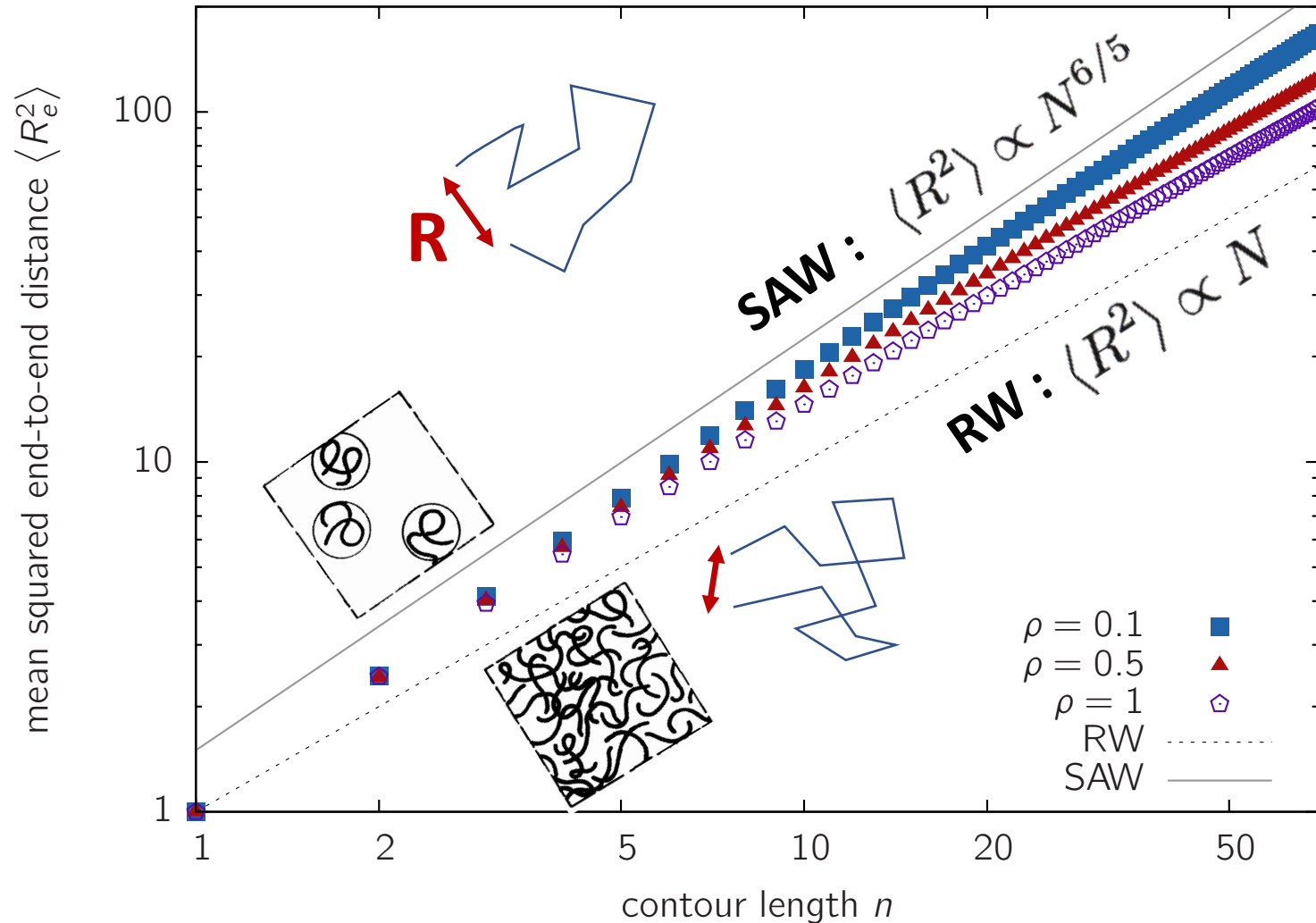
Il disordine semplifica la vita: polimeri come RW se ad alta concentrazione in buon solvente



In soluzioni polimeriche ad **alta concentrazione** si verifica la mutua cancellazione degli opposti effetti di:

- Volume escluso
- Pressione osmotica

Il disordine semplifica la vita: polimeri come RW se ad alta concentrazione in buon solvente



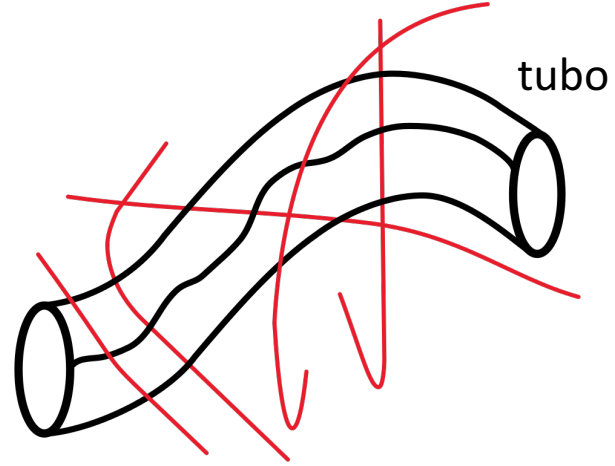
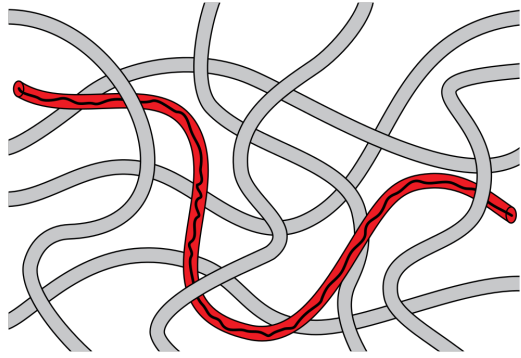
In soluzioni polimeriche ad **alta concentrazione** si verifica la mutua cancellazione degli opposti effetti di:

- Volume escluso ↔
- Pressione osmotica →



# Il disordine semplifica la vita: polimeri come serpenti in un tubo se ad alta concentrazione

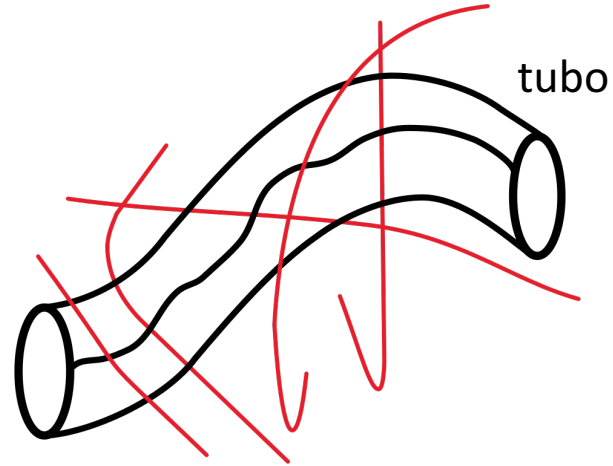
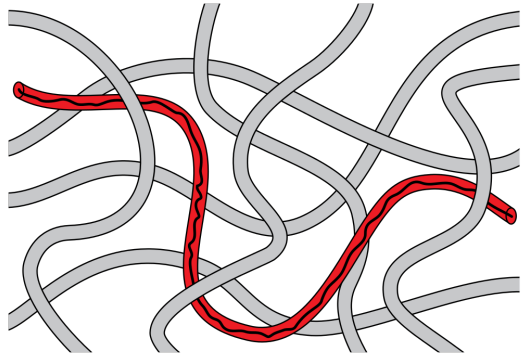
By Carl Henderson - Own work, CC0,  
<https://commons.wikimedia.org/w/index.php?curid=39441934>



S. Edwards

# Il disordine semplifica la vita: polimeri come serpenti in un tubo se ad alta concentrazione

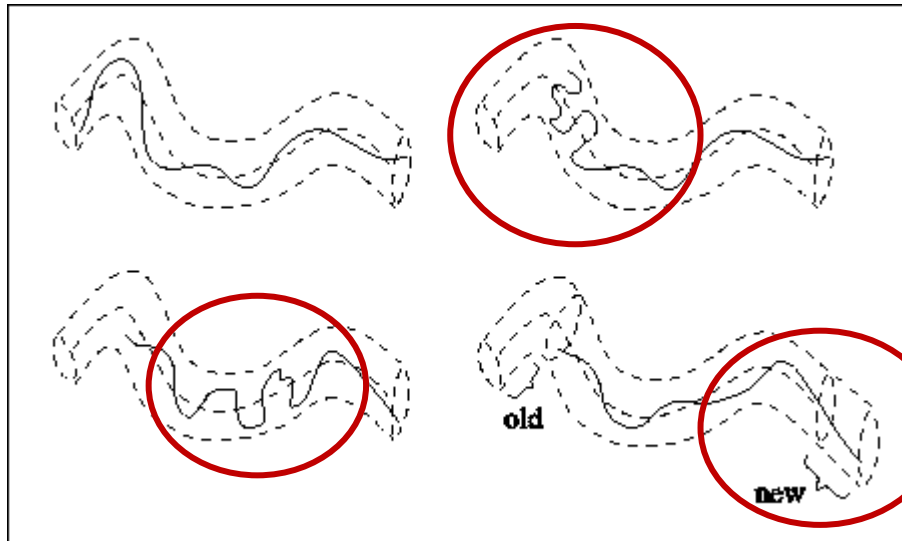
By Carl Henderson - Own work, CC0,  
<https://commons.wikimedia.org/w/index.php?curid=39441934>



S. Edwards



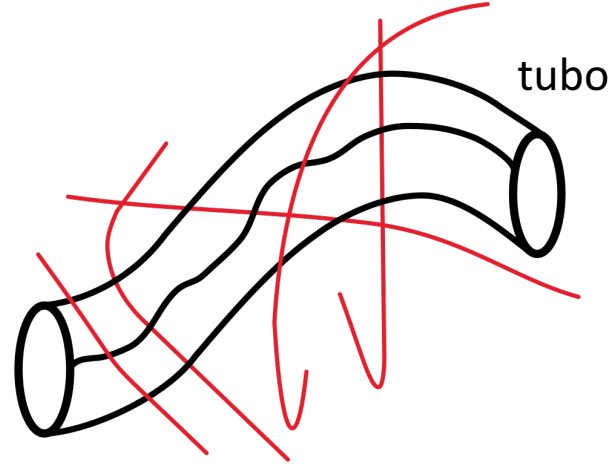
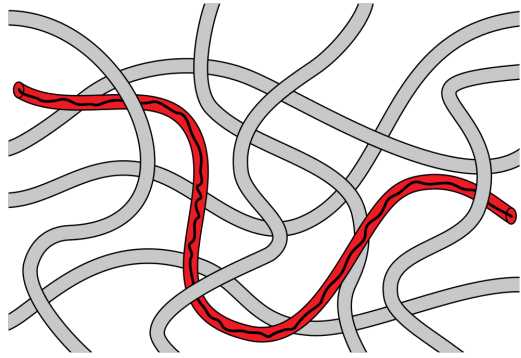
P.G. De Gennes,  
Nobel (Fisica) 91



Moto di reptazione di un polimero nel tubo costituito dai suoi vicini

# Il disordine semplifica la vita: polimeri come serpenti in un tubo se ad alta concentrazione

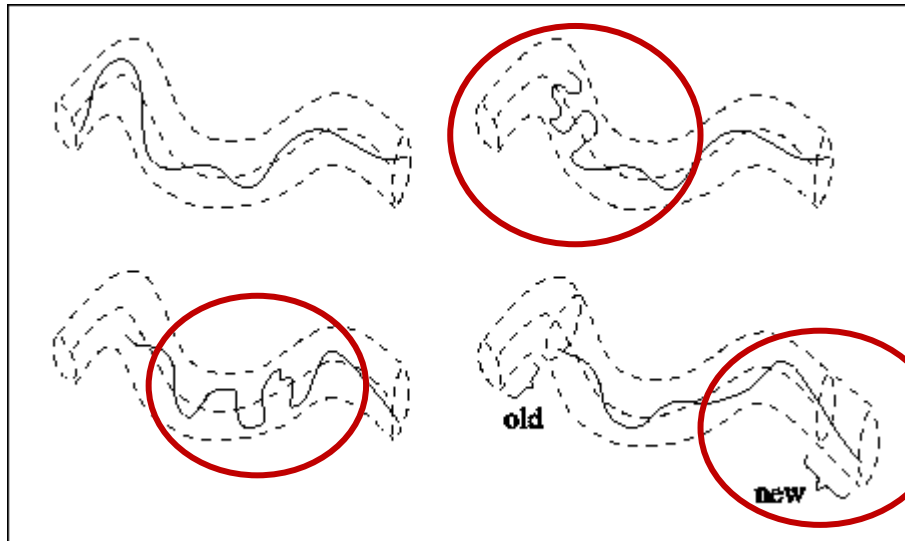
By Carl Henderson - Own work, CC0, <https://commons.wikimedia.org/w/index.php?curid=39441934>



S. Edwards

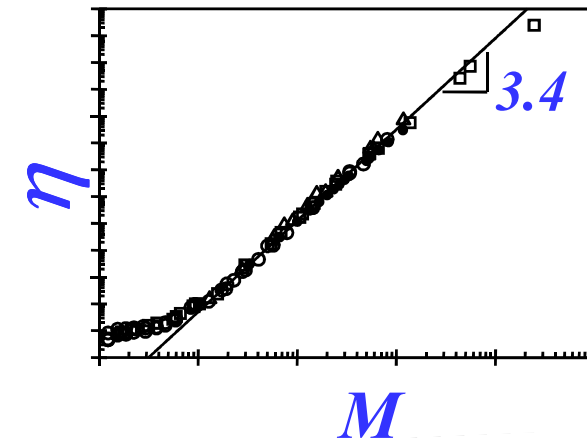


P.G. De Gennes,  
Nobel (Fisica) 91



Moto di reptazione di un polimero nel tubo costituito dai suoi vicini

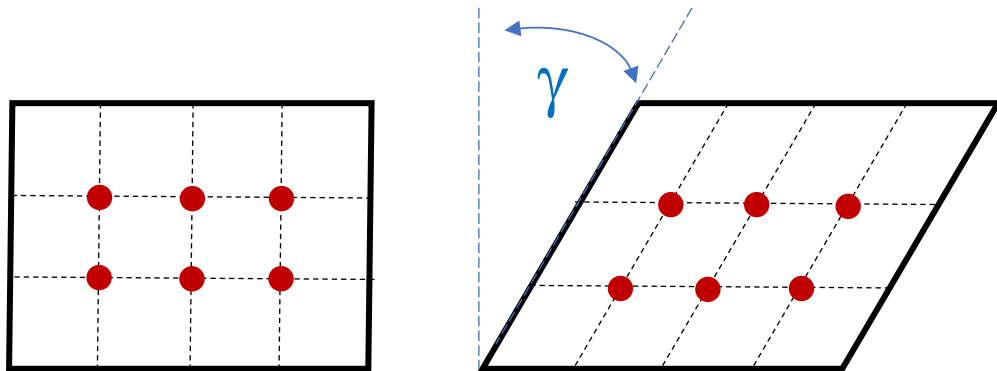
Scaling universale della viscosita' con la lunghezza della catena polimerica



# Solidi disordinati (vetri): non-affinita' e disomogeneita' elastica

$$\mathbf{R} = \mathbf{R}_0 + \mathbf{u}$$

Deformazione affine (omogenea)

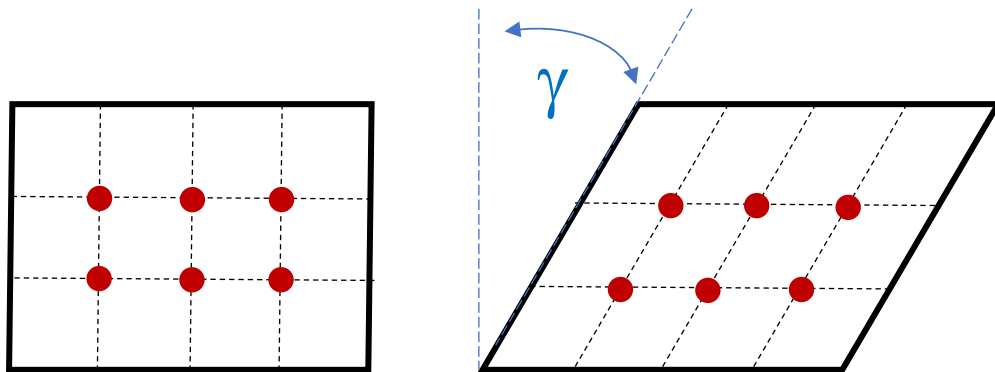


$$\begin{cases} u_x = \gamma y \\ u_y = 0 \end{cases}$$

# Solidi disordinati (vetri): non-affinita' e disomogeneita' elastica

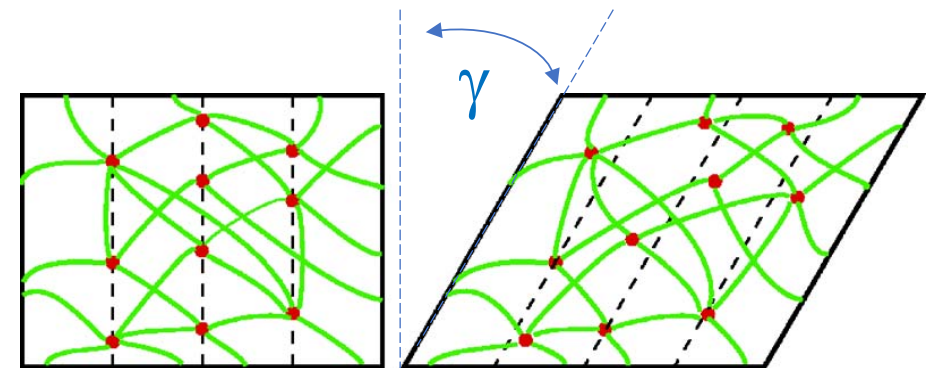
$$\mathbf{R} = \mathbf{R}_0 + \mathbf{u}$$

Deformazione affine (omogenea)



$$\begin{cases} u_x = \gamma y \\ u_y = 0 \end{cases}$$

Deformazione non-affine (disomogenea)

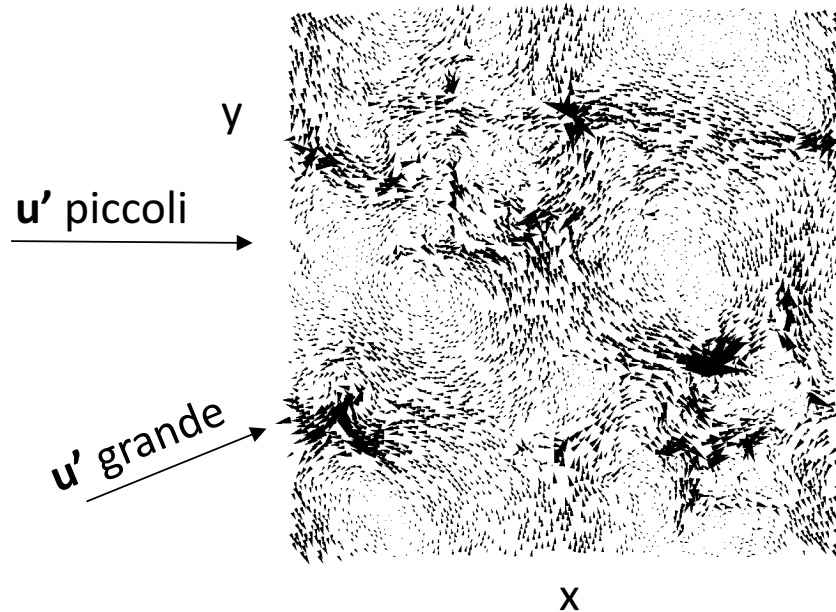


$$\begin{cases} u_x = \gamma y + u'_x \\ u_y = u'_y \end{cases}$$

# Solidi disordinati (vetri): non-affinita' e disomogeneita' elastica

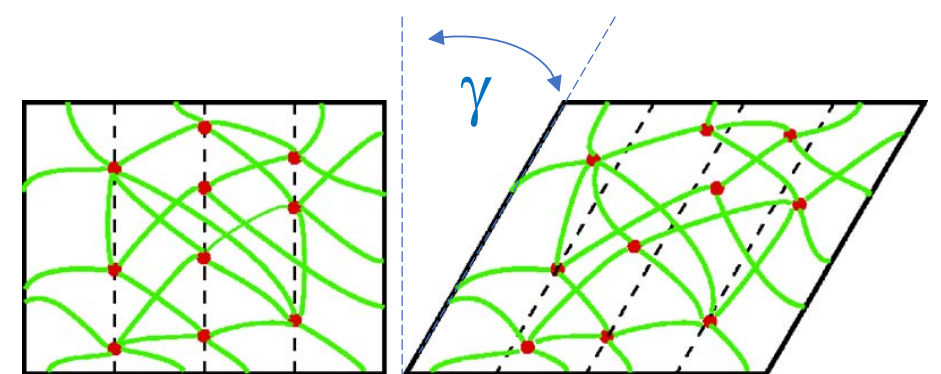
$$\mathbf{R} = \mathbf{R}_0 + \mathbf{u}$$

Mappa della deformazione non affine  
**Vortici !** Come nella turbolenza...



Lennard-Jones glass (MD)  
Tanguy et al, PRB 2002:

Deformazione non-affine (disomogenea)

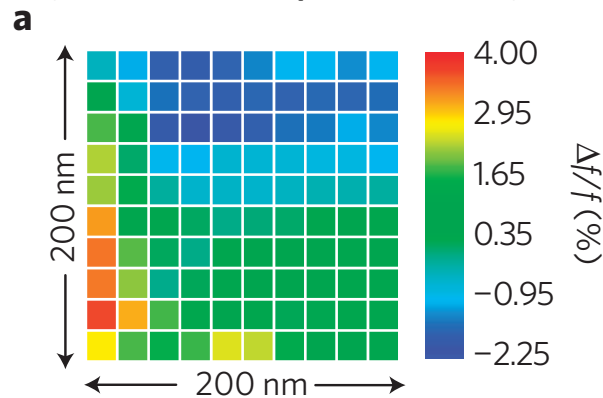


$$\begin{cases} u_x = \gamma y + u'_x \\ u_y = u'_y \end{cases}$$

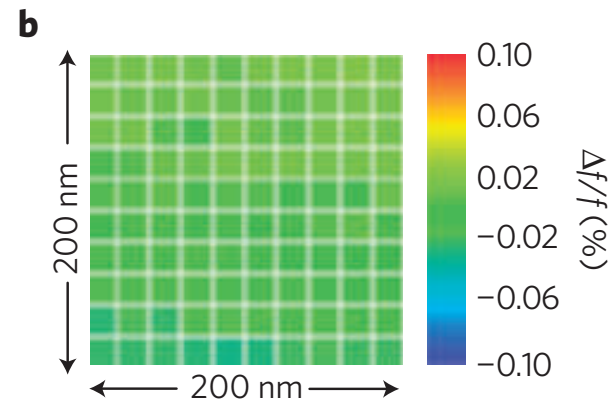
# Solidi disordinati (vetri): non-affinita' e disomogeneita' elastica

$$\mathbf{R} = \mathbf{R}_0 + \mathbf{u}$$

Mappa del modulo elastico locale di PdCuSi  
(microscopia AFM)

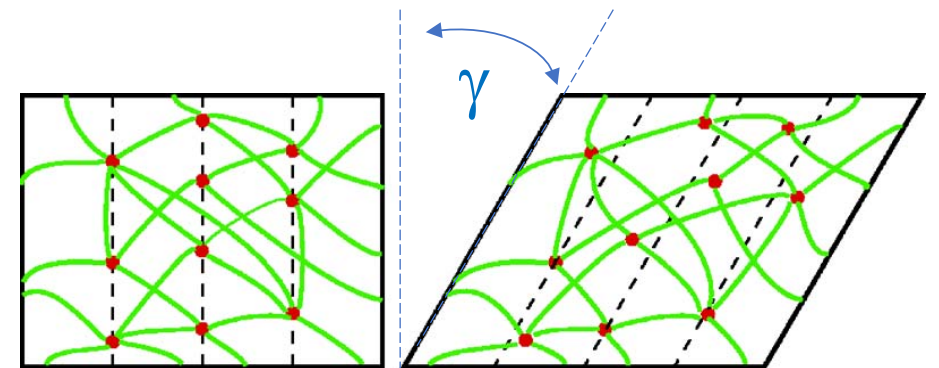


Vetro



Cristallo

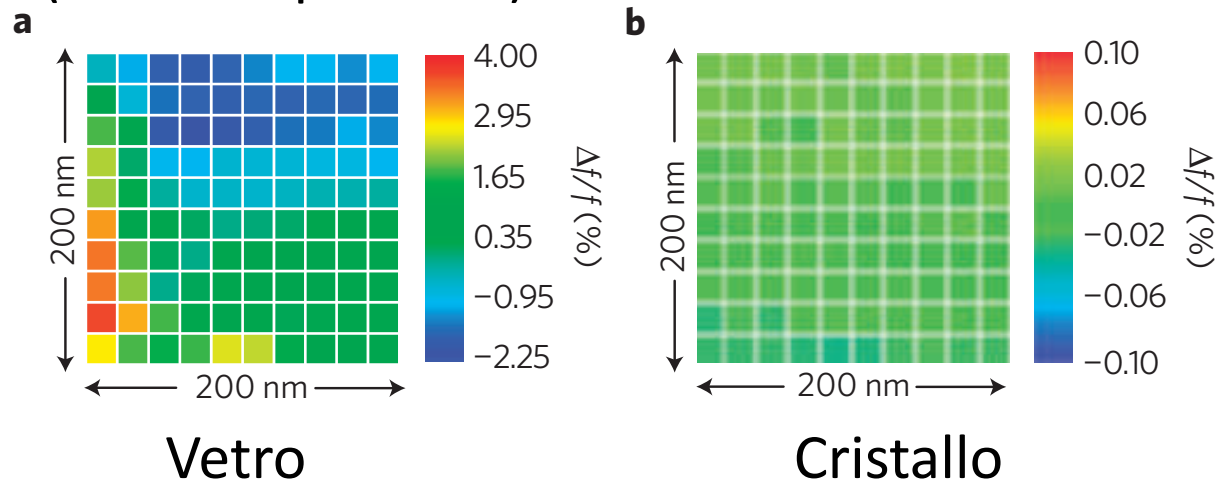
Deformazione non-affine (disomogenea)



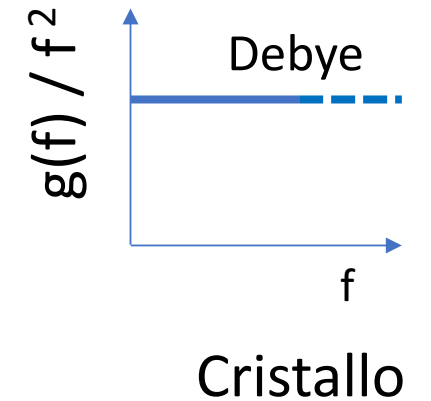
$$\begin{cases} u_x = \gamma y + u'_x \\ u_y = u'_y \end{cases}$$

# Solidi disordinati (vetri): modi vibrazionali acustici e disomogeneita' elastica

Mappa del modulo elastico locale di PdCuSi  
(microscopia AFM)



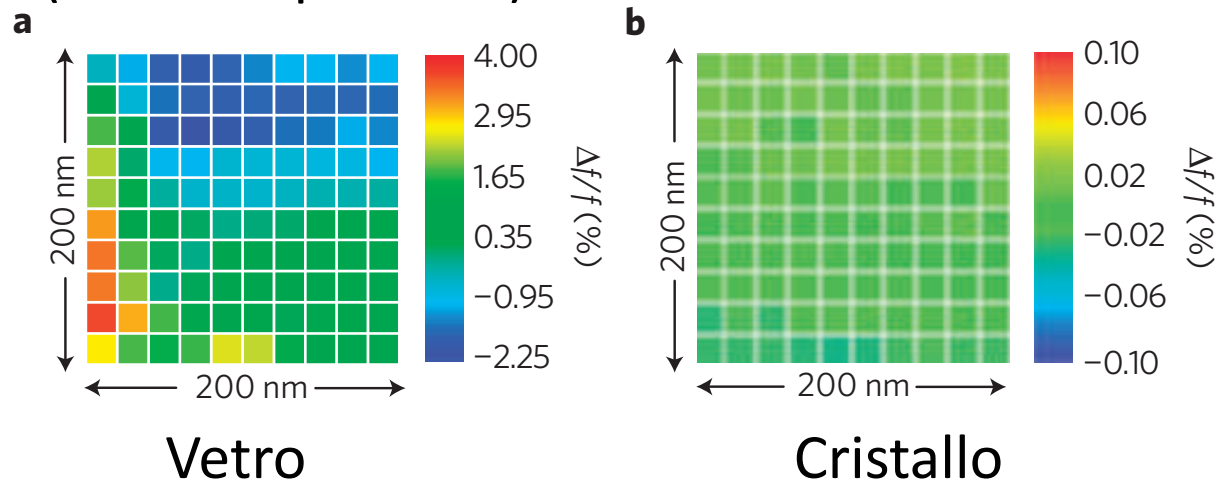
Distribuzione modi acustici  $g(f)$



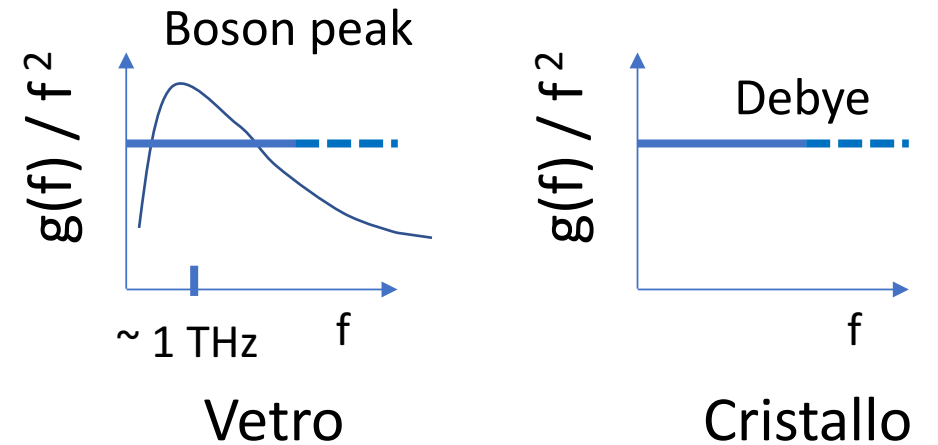


# Solidi disordinati (vetri): modi vibrazionali acustici e disomogeneita' elastica

Mappa del modulo elastico locale di PdCuSi  
(microscopia AFM)

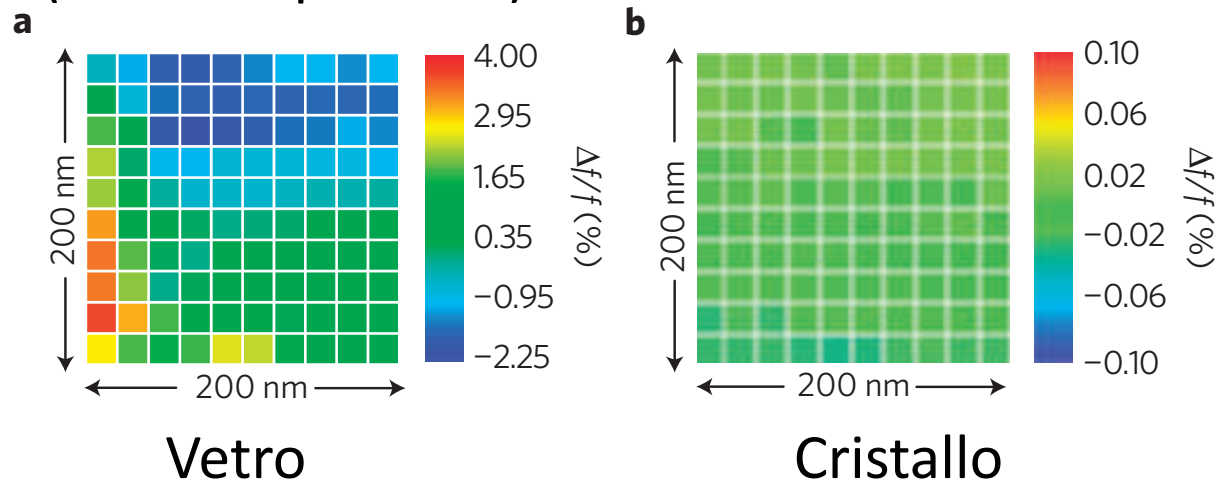


Distribuzione modi acustici  $g(f)$

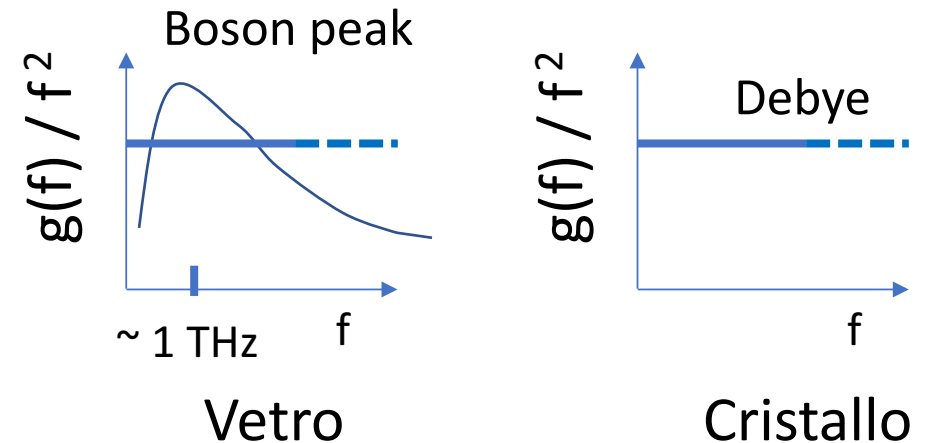


# Solidi disordinati (vetri): modi vibrazionali acustici e disomogeneita' elastica

Mappa del modulo elastico locale di PdCuSi  
(microscopia AFM)

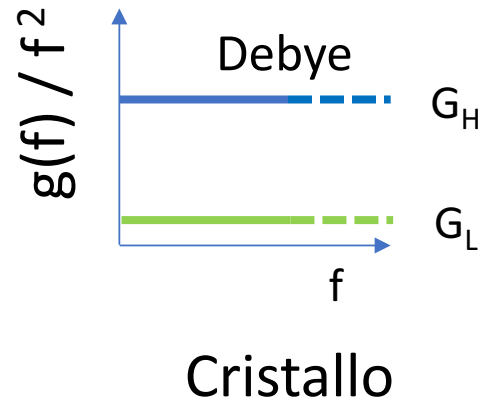
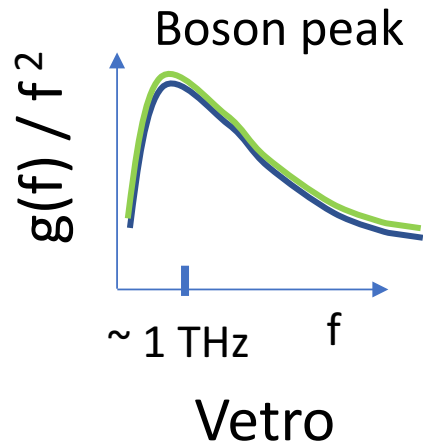


Distribuzione modi acustici  $g(f)$



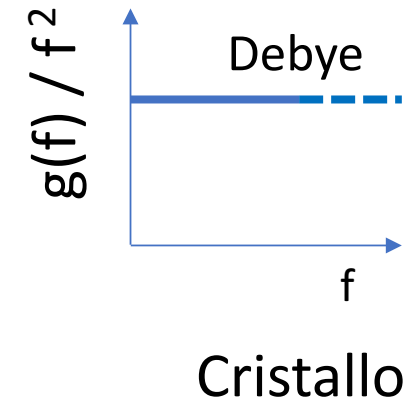
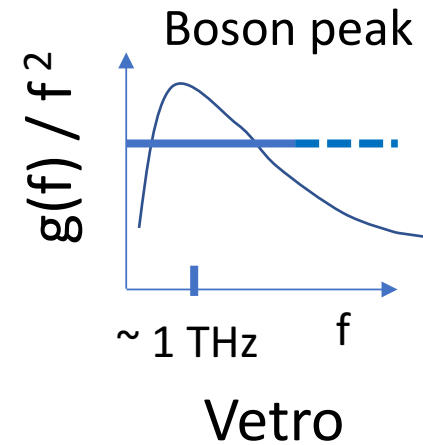
# Solidi disordinati (vetri): modi vibrazionali acustici e disomogeneita' elastica

No, se il vetro e' a "bassa connettivita'"



Giuntoli, DL, PRL 2018

Distribuzione modi acustici  $g(f)$

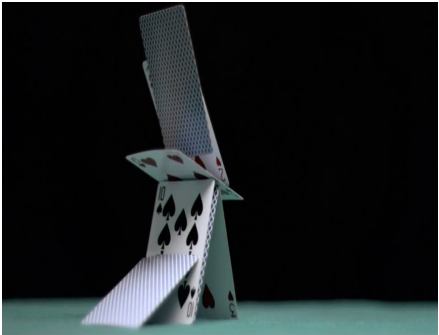


$f \sim 1 \text{ THz} \rightarrow \lambda \sim 1 \text{ nm}$ . **Domanda:** Il vetro e' omogeneo come un cristallo sulla scala di  $\sim 1 \text{ nm}$  ?

# Solidi disordinati (vetri): modi vibrazionali acustici e disomogeneita' elastica

“Boson peak” -> eccesso di **modi a bassa frequenza (“soffici”)** rispetto ai cristalli -> instabilita', dissipazione e plasticita'

Presenza di modi soffici



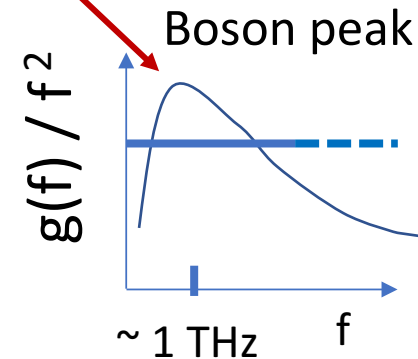
Perche' me ne devo preoccupare ?

Assenza di modi soffici

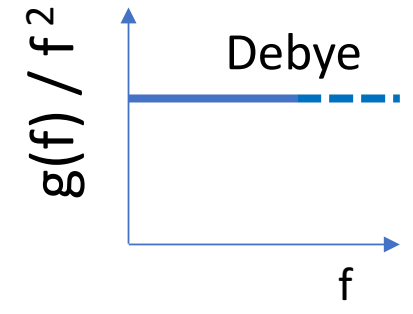


ponteggio

Distribuzione modi acustici  $g(f)$



Vetro

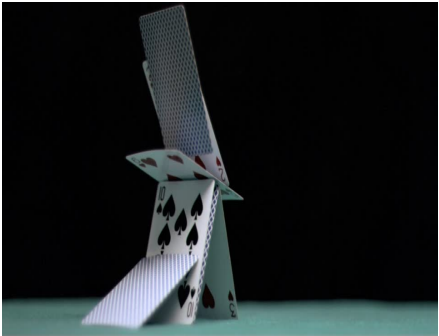


Cristallo

# Solidi disordinati (vetri): modi vibrazionali acustici e disomogeneita' elastica

“Boson peak” -> eccesso di **modi a bassa frequenza (“soffici”)** rispetto ai cristalli -> instabilita', dissipazione e plasticita'

Presenza di modi soffici



Perche' me ne devo preoccupare ?

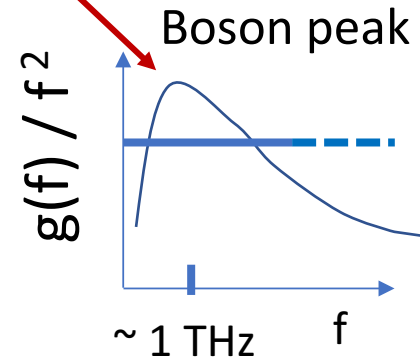


Assenza di modi soffici

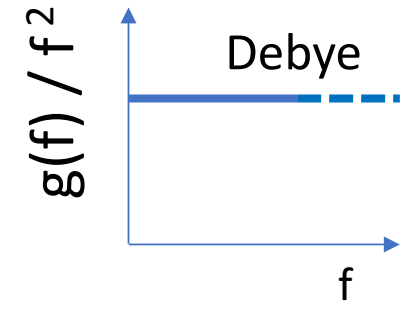


ponteggio

Distribuzione modi acustici  $g(f)$



Vetro

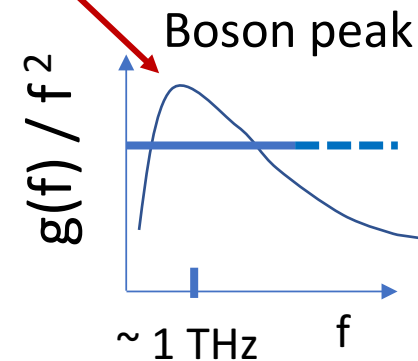
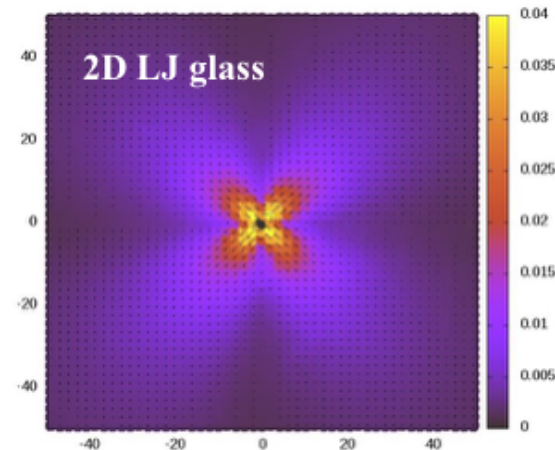


Cristallo

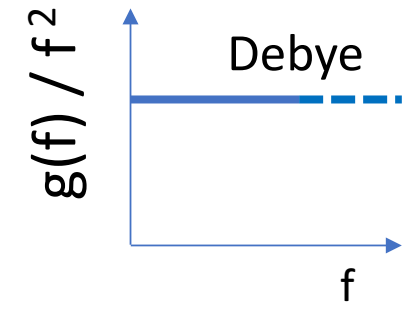
# Solidi disordinati (vetri): modi vibrazionali acustici e disomogeneita' elastica

“Boson peak” -> eccesso di **modi a bassa frequenza (“soffici”)** rispetto ai cristalli -> instabilita', dissipazione e **plasticita'**

Distribuzione modi acustici  $g(f)$



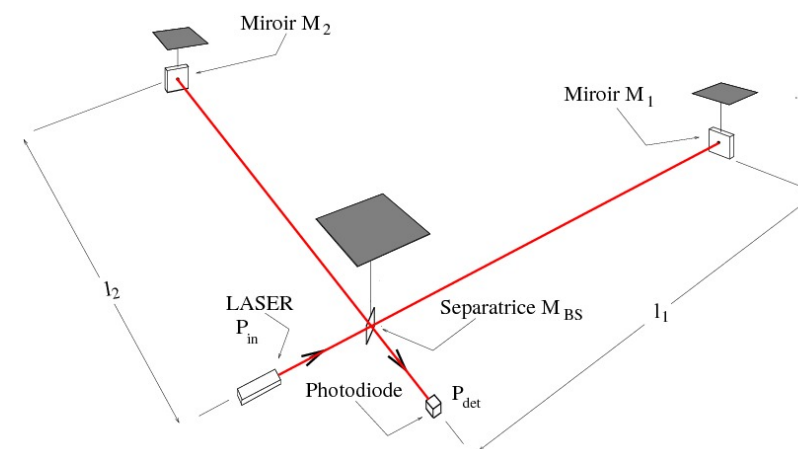
Vetro



Cristallo

Valanga di eventi **plastici**  
F. Puosi (unpublished)

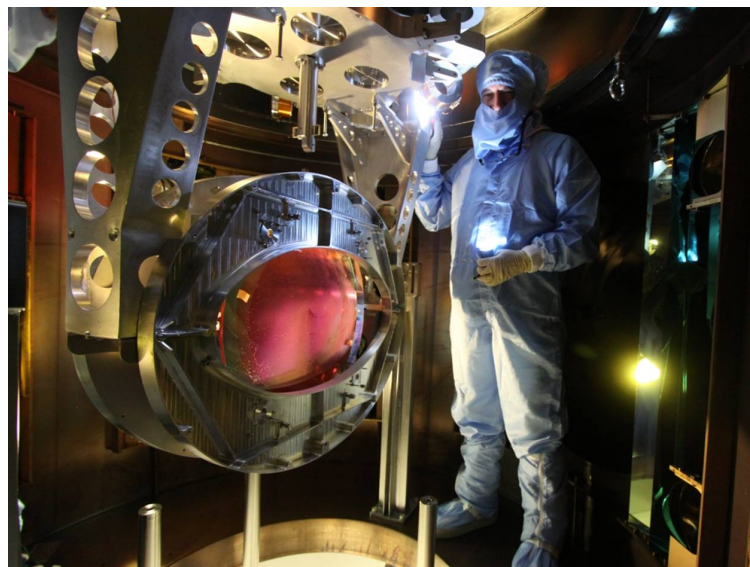
Evento **plastico** quadrupolare  
F. Puosi et al, PRE 2014



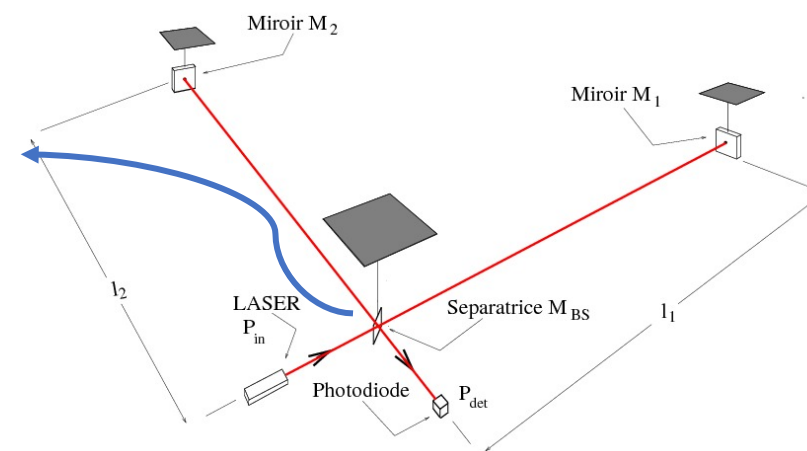
Interferometro VIRGO  
per la rivelazione di  
onde gravitazionali



Interferometro VIRGO  
per la rivelazione di  
onde gravitazionali



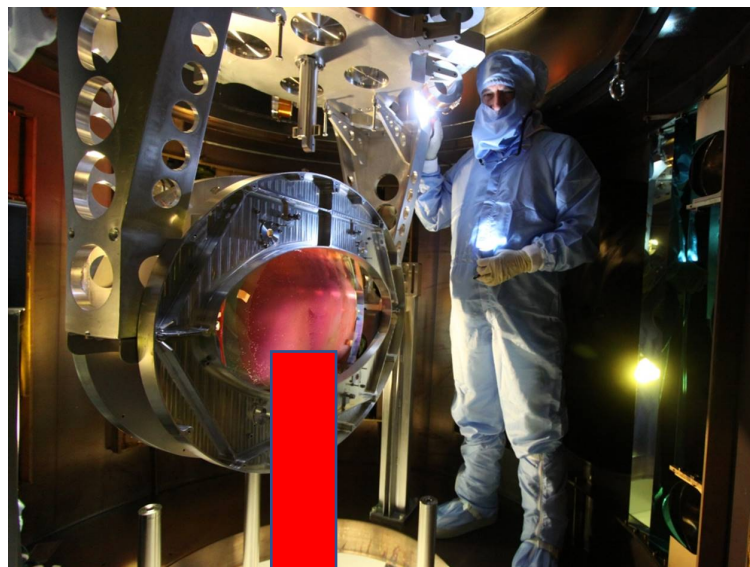
Beam splitter ( 34 kg, 55 cm  $\varnothing$  )



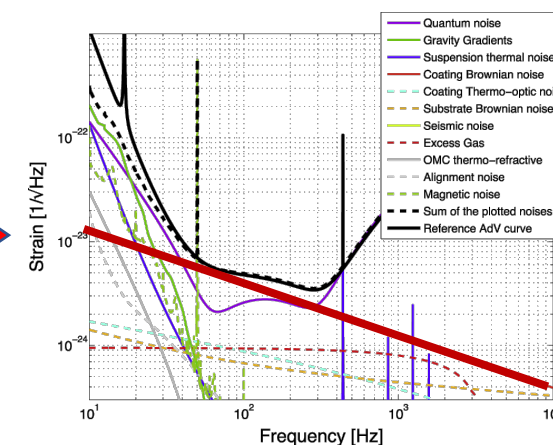
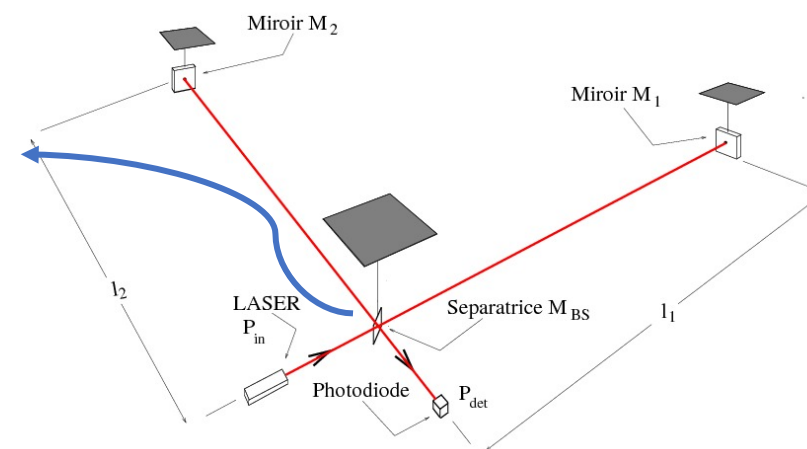




Interferometro VIRGO  
per la rivelazione di  
onde gravitazionali



Beam splitter (34 kg, 55 cm  $\varnothing$ )

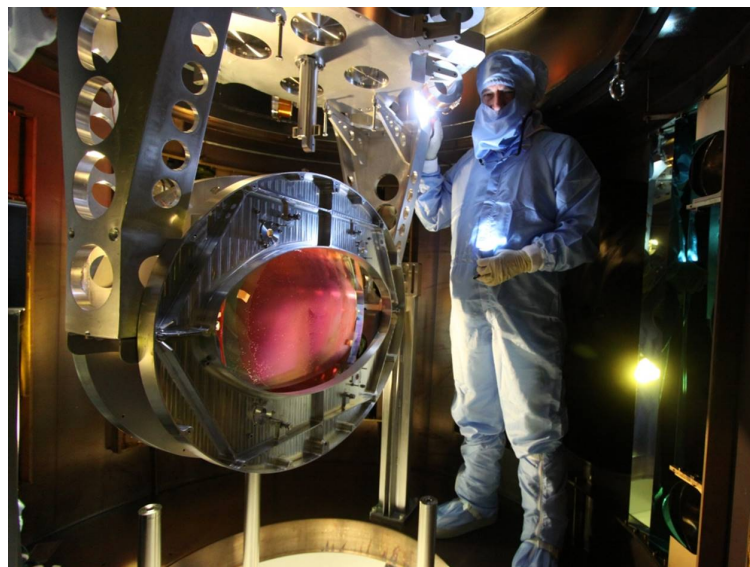


**Obiettivo:**

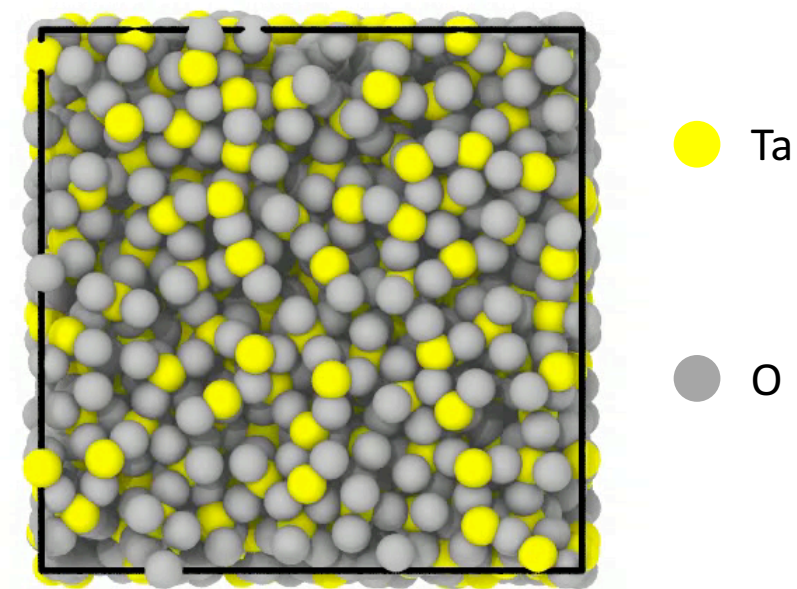
Spettroscopia dinamico-meccanica *in-silico*  
per la riduzione del rumore termico  
negli specchi (solidi disordinati) dell' interferometro



Interferometro VIRGO  
per la rivelazione di  
onde gravitazionali



Beam splitter ( 34 kg, 55 cm  $\varnothing$ )



Deformazione di  $\text{Ta}_2\text{O}_5$

**Obiettivo:**

Spettroscopia dinamico-meccanica *in-silico*  
per la riduzione del rumore termico  
negli specchi (solidi disordinati) dell' interferometro

F. Puosi, DL, S. Capaccioli, D. Pisignano and F. Fidecaro

# Conclusioni:

- Il disordine e' regolato da leggi di natura statistica,

# Conclusioni:

- Il disordine e' regolato da leggi di natura statistica,
- La dinamica di un sistema disordinato dipende poco dai dettagli spaziali a piccola scala -> universalita'  
approssimate,

# Conclusioni:

- Il disordine e' regolato da leggi di natura statistica,
- La dinamica di un sistema disordinato dipende poco dai dettagli spaziali a piccola scala -> universalita' approssimate,
- Le leggi talora si semplificano all' umentare della complessita' del sistema disordinato (Nobel Fisica 91),

# Conclusioni:

- Il disordine e' regolato da leggi di natura **statistica**,
- La dinamica di un sistema disordinato dipende poco dai dettagli spaziali a piccola scala -> **universalita' approssimate**,
- Le leggi talora si **semplificano** all' **umentare della complessita'** del sistema disordinato (Nobel Fisica 91),
- Il disordine presenta:
  - **talvolta proprieta' di scala** tra mondo macroscopico e microscopico (ad es. backflow, risposta elastica in vetri ad "alta connettivita'")
  - **altre volte no** (ad es. risposta elastica in vetri "poco connessi") con varie forme di eterogeneita' (ad es. elastica)

# Conclusioni:

- Il disordine e' regolato da leggi di natura **statistica**,
- La dinamica di un sistema disordinato dipende poco dai dettagli spaziali a piccola scala -> **universalita' approssimate**,
- Le leggi talora si **semplificano** all' **umentare della complessita'** del sistema disordinato (Nobel Fisica 91),
- Il disordine presenta:
  - **talvolta proprieta' di scala** tra mondo macroscopico e microscopico (ad es. backflow, risposta elastica in vetri ad "alta connettivita'")
  - **altre volte no** (ad es. risposta elastica in vetri "poco connessi") con varie forme di eterogeneita' (ad es. elastica)
- I sistemi disordinati:
  - Aiutano a scoprire l'esistenza degli atomi,
  - Danno una mano a cercare onde gravitazionali.

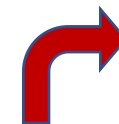
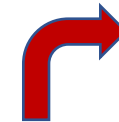
# Κόσμος ( kósmos ) : ordine, universo (Pitagora)



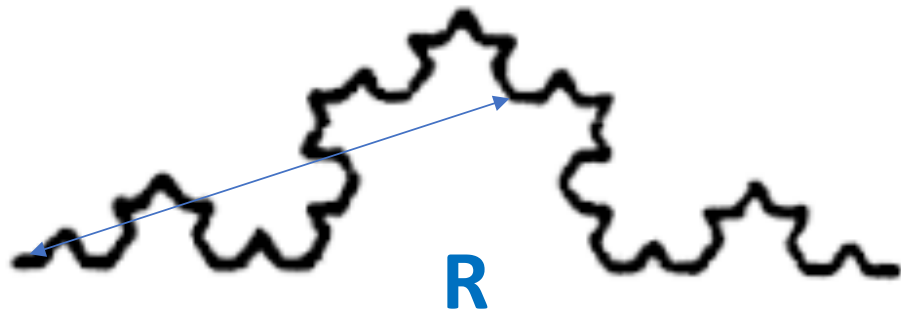
- ❖ Scala microscopica: ordine
- ❖ Scala meso- e macro-scopica: disordine (passaggio graduale)

## ➤ Statistica

- Multiscala (lunghezza, tempo):
- **Correlazioni** tra scale causati da vincoli, moti cooperativi -> Autosimilarita', autoaffinita'
- **Correlazioni** spaziali: impaccamento
- Correlazioni temporali: polimeri (esistono modi come in teoria piccole oscillazioni o cristallo armonico?)
- Isteresi: dipendenza dalla storia: fuori equilibrio, memoria (elasticita'), perdita di memoria (viscosita')
- Viscoelasticita'

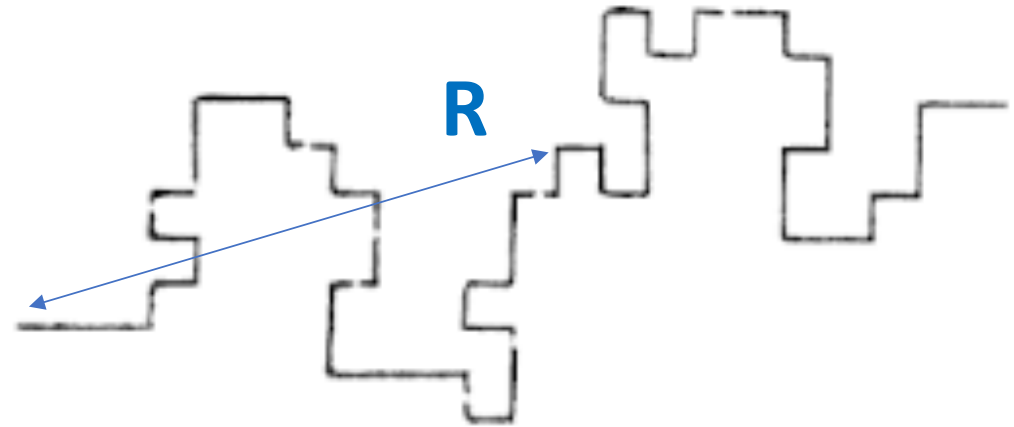






Deterministic fractal: curva di Koch

$$R = n^\alpha$$
$$\alpha = \log 3 / \log 4 \sim 0.79$$



Statistical fractal : self-avoiding random walk

$$\langle R^2 \rangle^{1/2} = n^\alpha$$
$$\alpha = 3/5 = 0.6$$

# Moto browniano, Einstein, Perrin e l'esistenza degli atomi

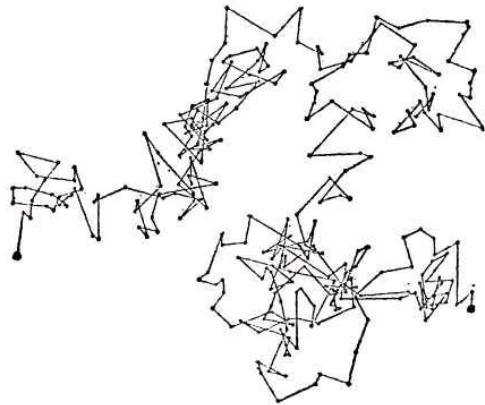
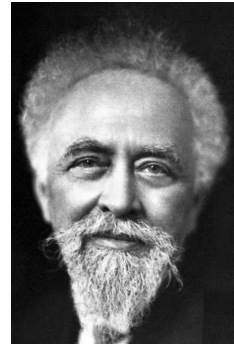
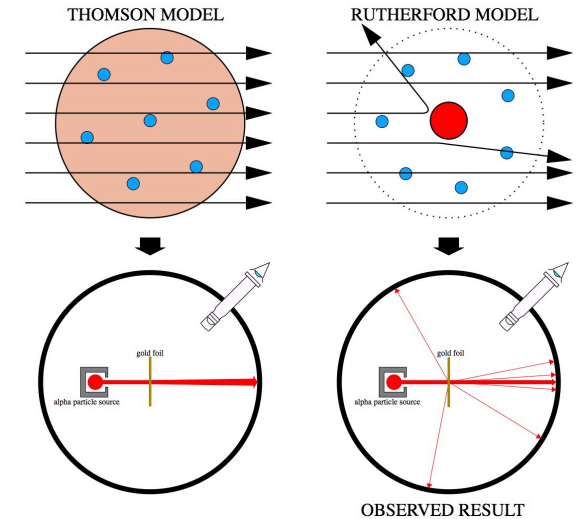


Fig. 8.

J. Perrin, 1912



Jean Baptiste Perrin, The Nobel Prize in Physics 1926  
 "for his work on the discontinuous structure of matter..."



L' esperimento di Rutherford (anche detto esperimento di Geiger e Marsden) fu un esperimento effettuato per sondare la struttura dell'atomo eseguito da Hans Wilhelm Geiger e Ernest Marsden nel **1909**

73. Parfaite irrégularité de l'agitation.

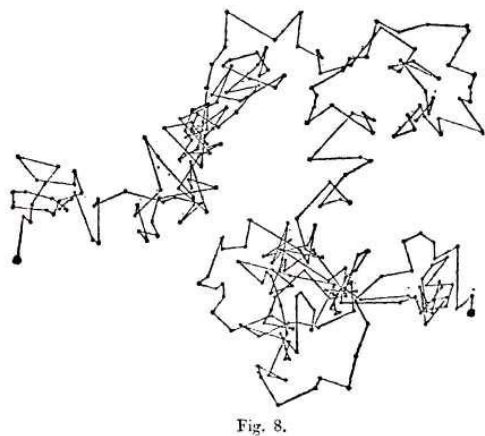
Einstein (1905)

$$k_B = 6 \pi a D \eta / T$$

$$\langle \Delta r^2 \rangle = 6 D t$$

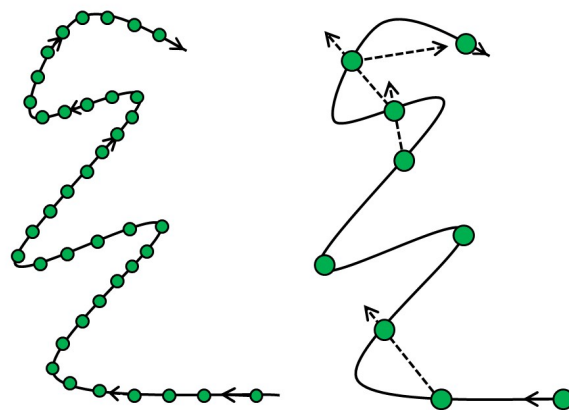
~~During the 1880s atoms and molecules became important scientific concepts, but whether or not they actually had a physical existence was still a matter of dispute.~~ Jean Perrin maintained that if molecules were real, particles blended into a liquid should not all sink to the bottom but should distribute themselves throughout the liquid. In **1908** he could substantiate this through experimentation. He also substantiated Albert Einstein's theory that Brownian motion - the random movement of small particles in a liquid - was due to collisions between the particles and molecules in the liquid. ( Source: <https://www.nobelprize.org/prizes/physics/1926/summary/> )

# Liquidi: il moto browniano



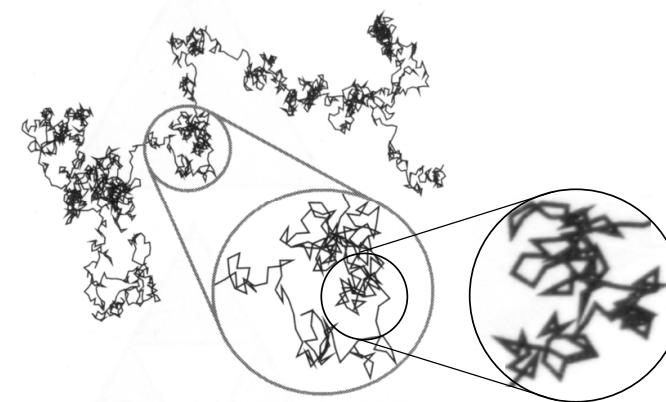
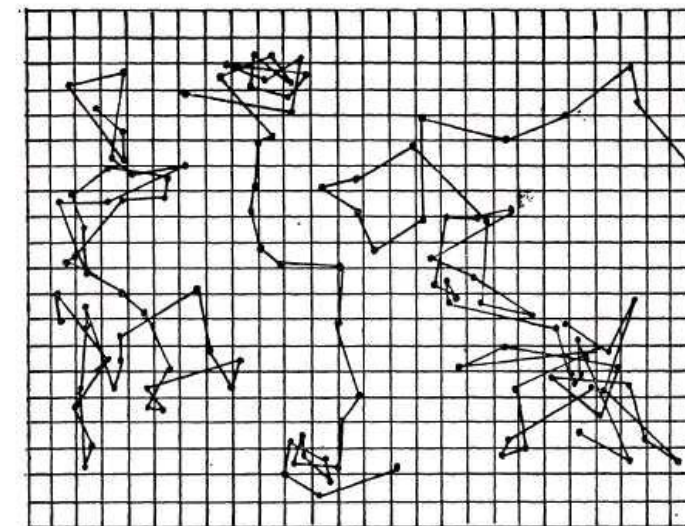
73. Parfaite irrégularité de l'agitation.

J. Perrin, 1912

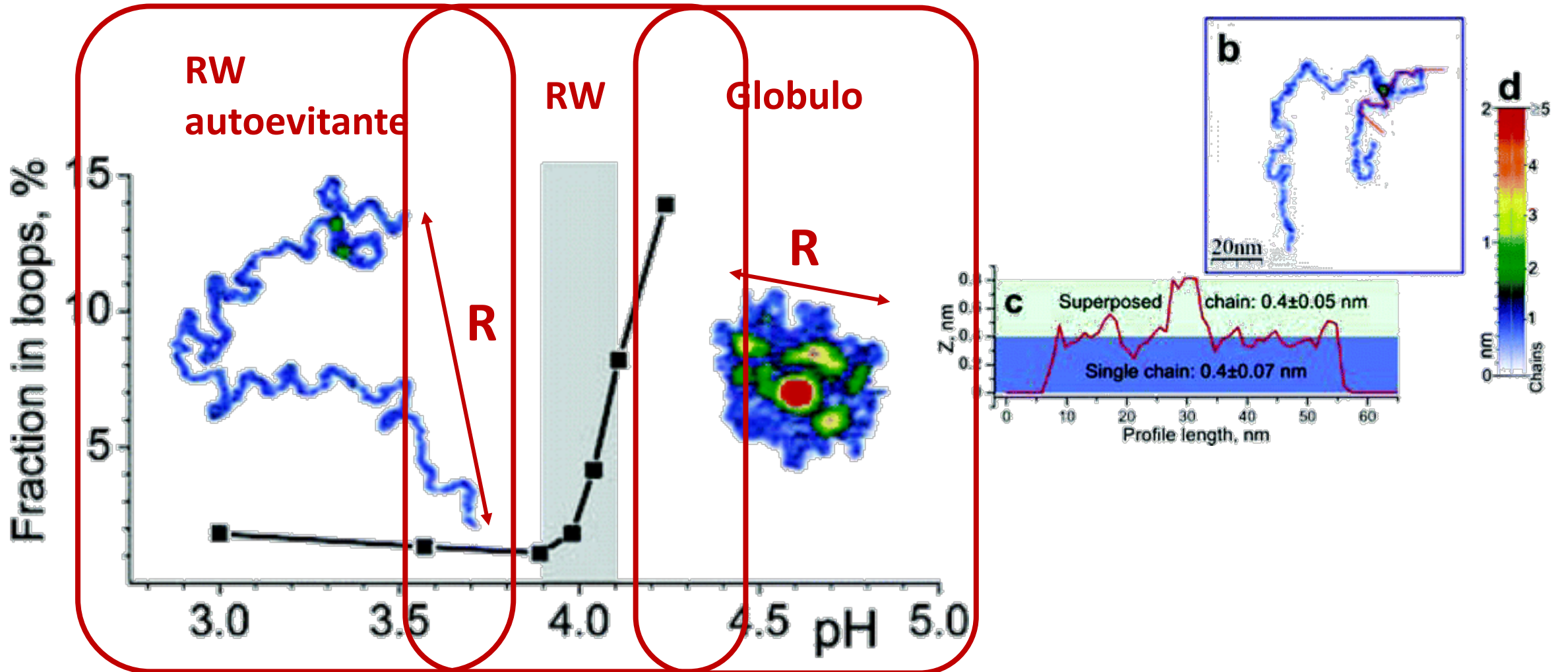


Traiettoria  
reale

Traiettoria  
campionata

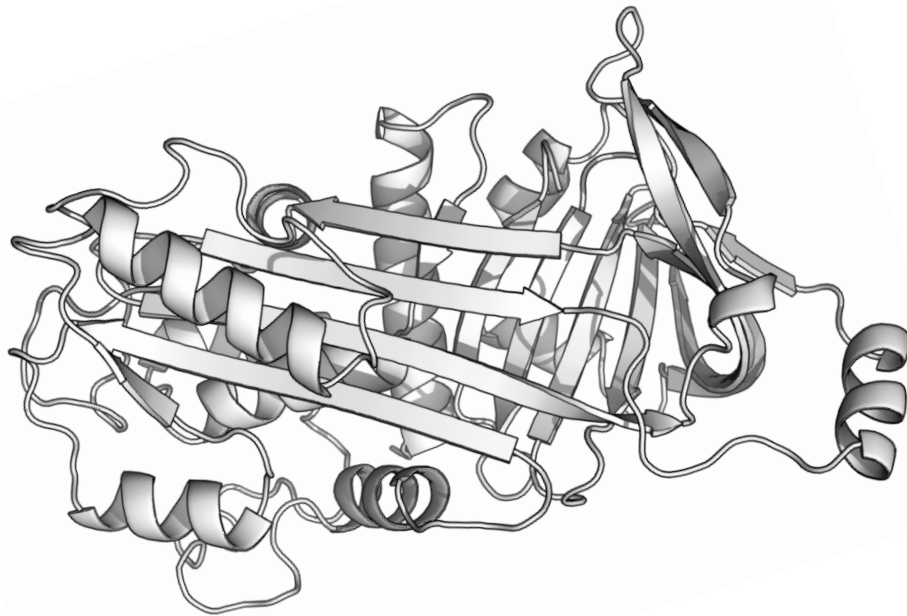


# Transizione “coil-globule” di singola catena: un esempio di transizione disordine-disordine



poly(2-vinylpyridine) su mica in soluzione acquosa  
Roiter and Minko, JACS 2005

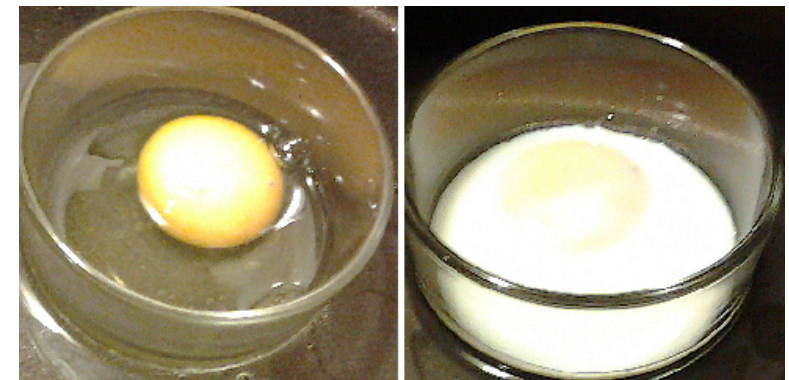
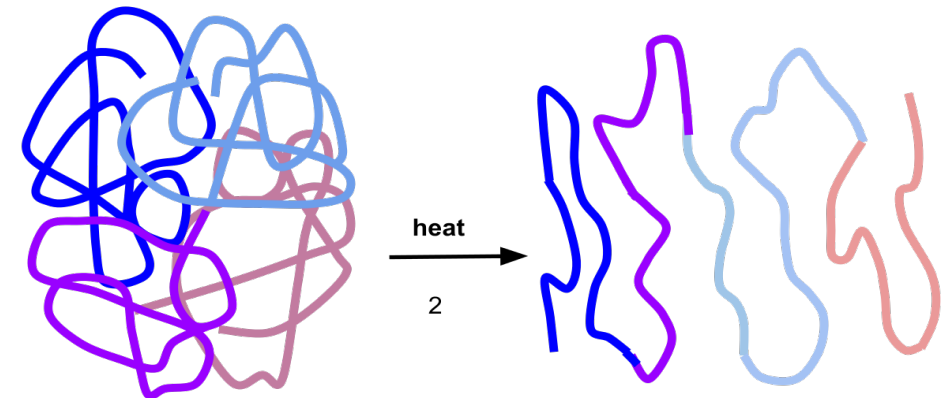
# Transizione "coil-globule" di singola catena : analogia con la denaturazione delle proteine



**Ovalbumina**  
Notare forma globulare

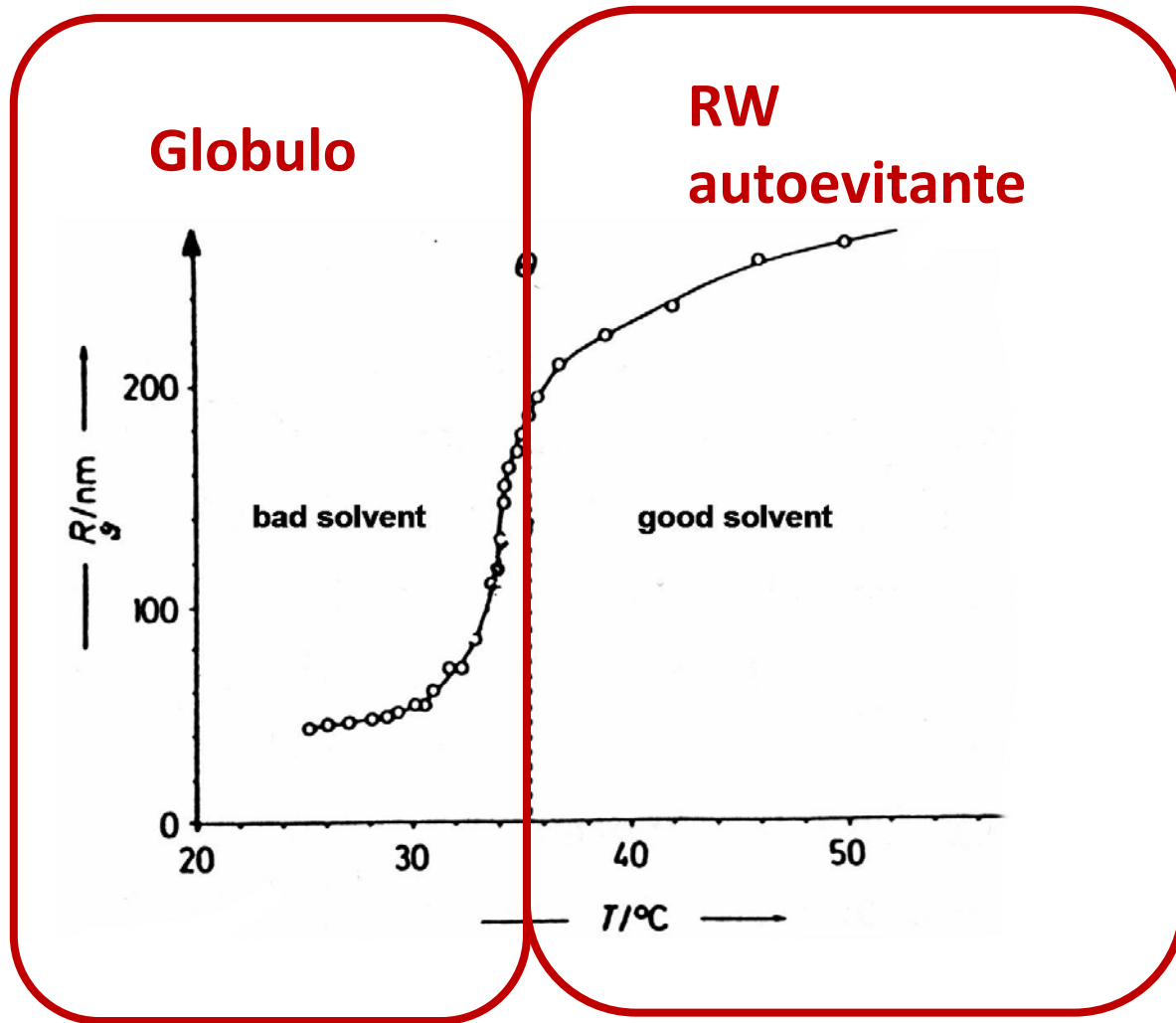
**Proteina Folded  
(globulare):  
funziona**

**Proteina Unfolded:  
non funziona**



L' ovalbumina, se riscaldata, diventa insolubile

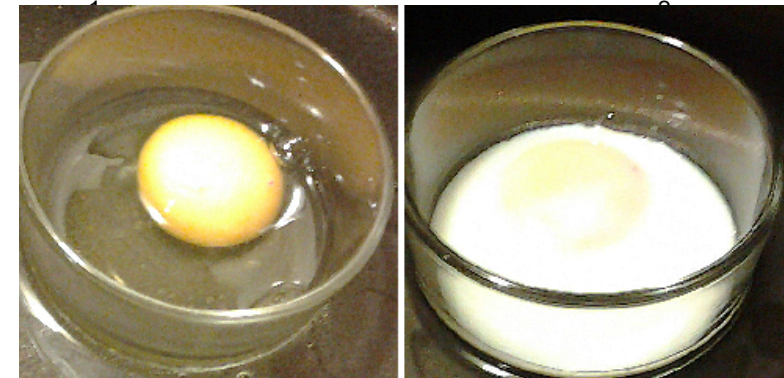
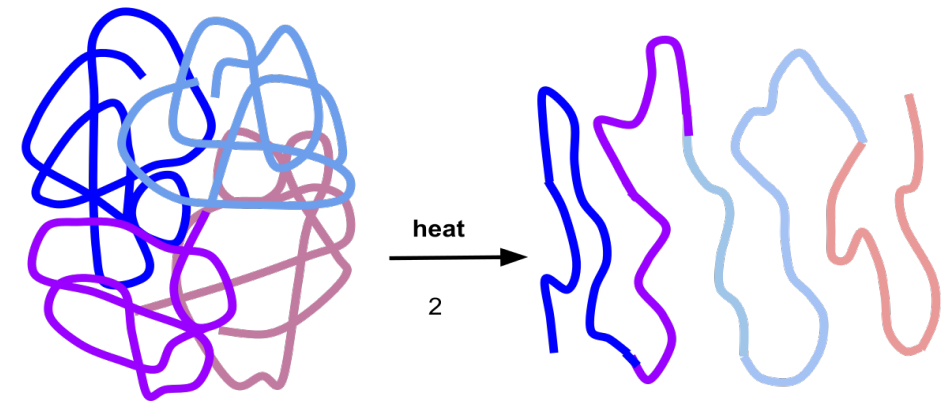
# Transizione "coil-globule": analogia con la denaturazione delle proteine



Polistirene in cicloesano

**Proteina Folded:  
funziona**

**Proteina Unfolded:  
non funziona**



L' albumina, se riscaldata, diventa insolubile